

Laboratorio di Fisica Atomica CdL Fisica e Astrofisica

Prof. Nicola Poli

Dip. Fisica ed Astronomia (115)

nicola.poli@unifi.it

055 457 2038

Programma Lezioni

- 4 lezioni

- Fasci Gaussiani

Soluzione eq. Maxwell parassiale, principali proprietà, propagazione, formulazione matriciale

Mer. 10 Ottobre

- Polarizzazione onde e.m.

Stati di polarizzazione, rappresentazione con vettore di Jones, birifrangenza ed ottiche polarizzanti (lamine di ritardo, polarizzatori)

Mer. 17 Ottobre

- Riflessione e rifrazione

Applicazioni eq. di Fresnel, riflessione totale, materiali, trattamenti (coatings) AR, HR

Mer. 24 Ottobre

- Propagazione guidata ed elementi elettro-ottici

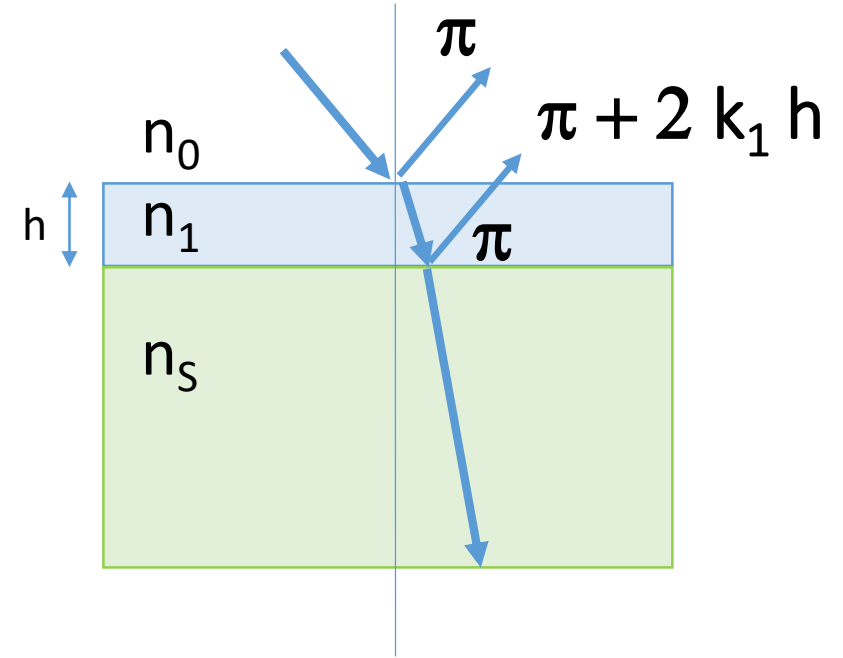
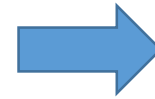
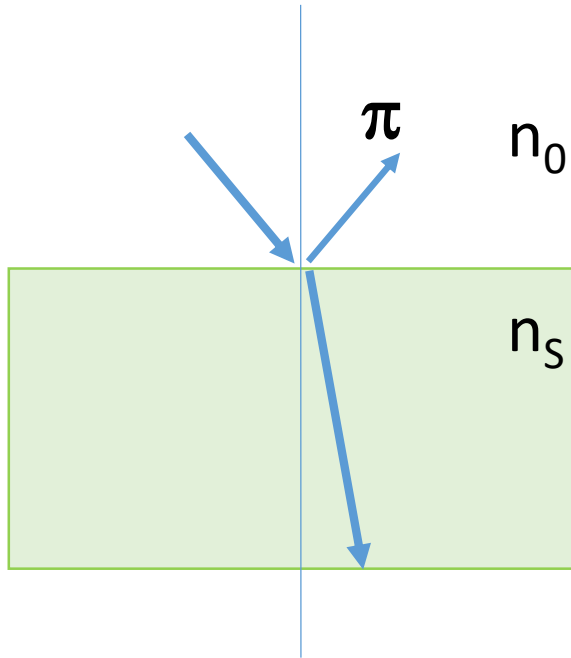
Fibre ottiche, Acusto-ottici, elettro-ottici

Mer. 4 Dicembre

Trattamenti AR

Incidenza quasi normale
E ortogonale

$$n_0 < n_1 < n_s$$



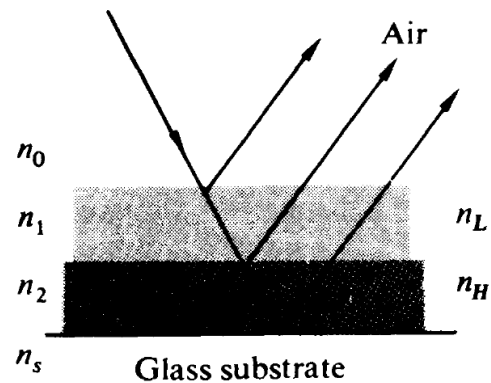
Interferenza distruttiva per $2 k_1 h = \pi$

$$h = \lambda / 4$$

Trattamenti HR

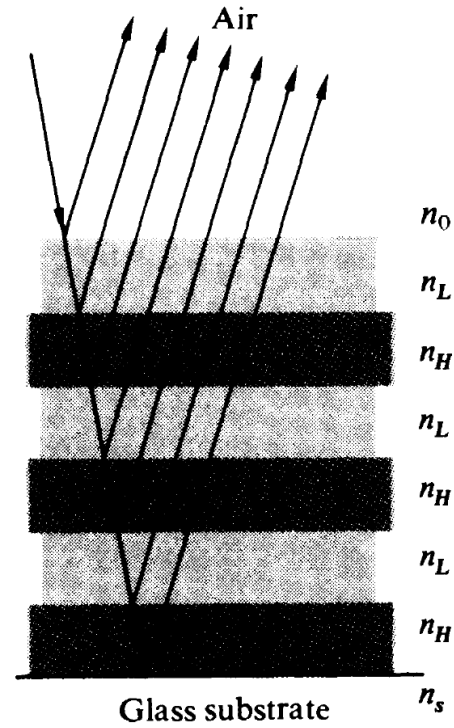
$$R = \frac{(1 - p)}{(1 + p)}$$

$$p = \left(\frac{n_H}{n_L} \right)^{N-1} \times \frac{n_H^2}{n_S}$$



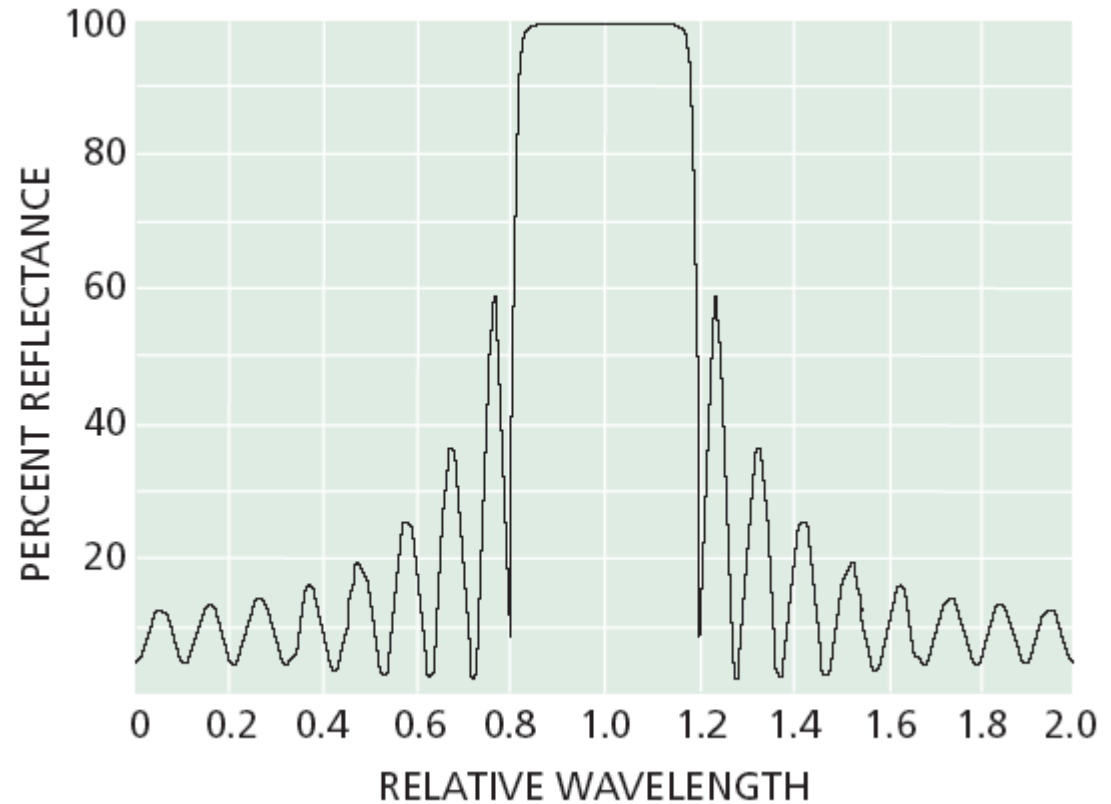
g H L a

Double-quarter

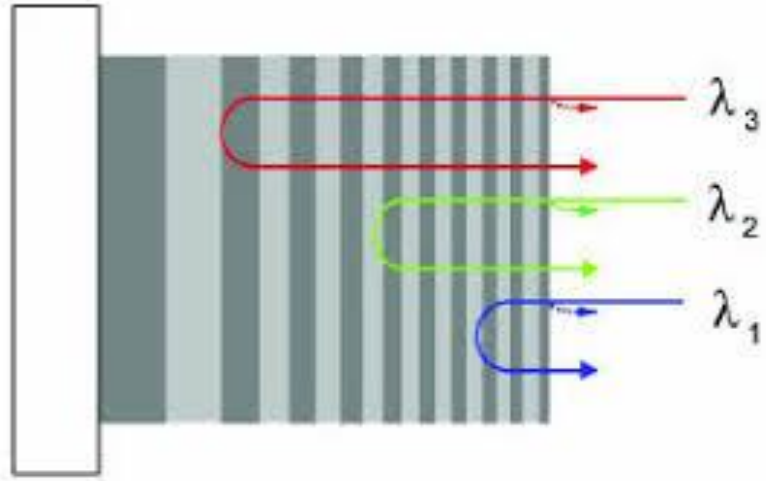


g H L H L H L a
g (H L)³ a

Quarter-wave stack



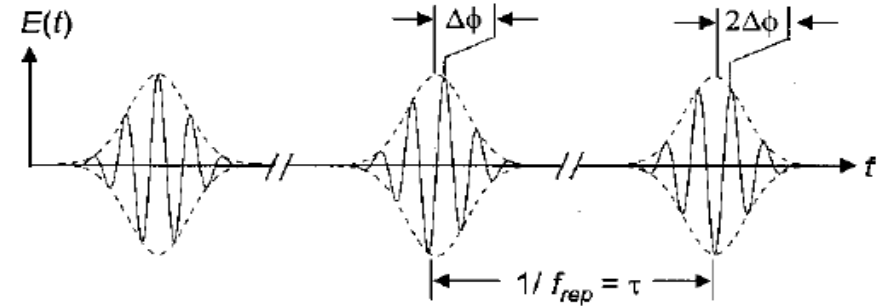
Specchi «Chirped»



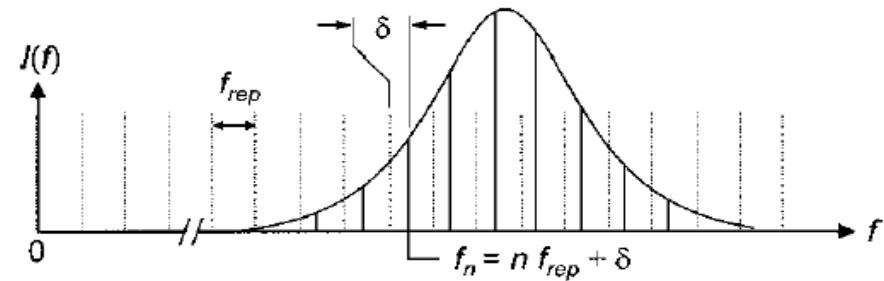
- Servono per compensare la dispersione e/o comprimere un impulso

- Laser a femtosecondi

(a) Time domain



(b) Frequency domain



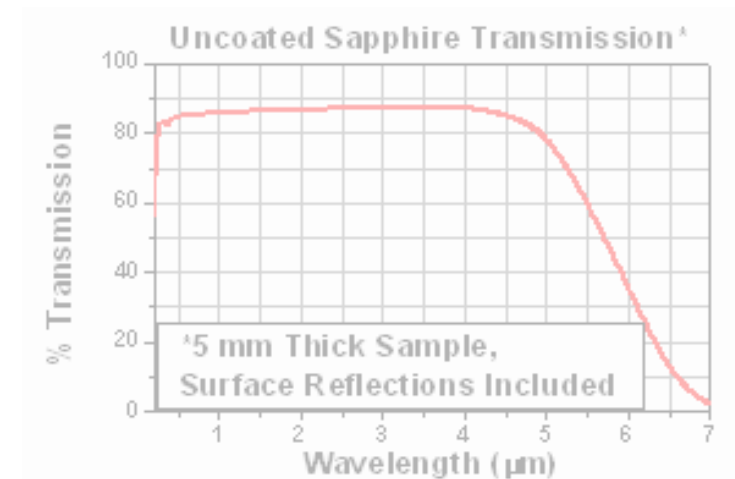
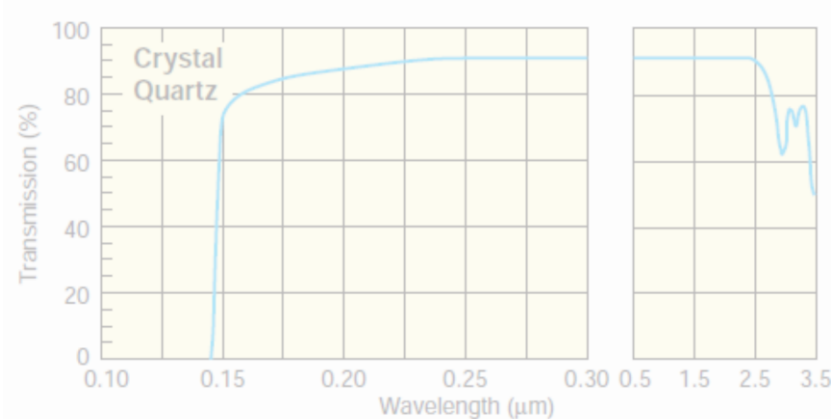
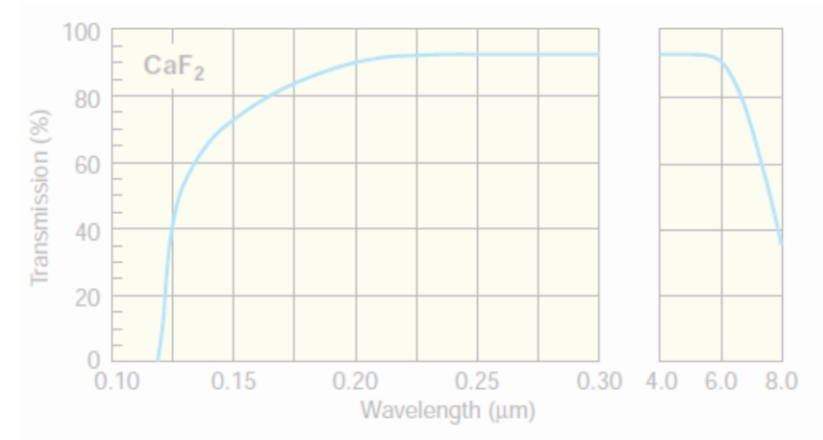
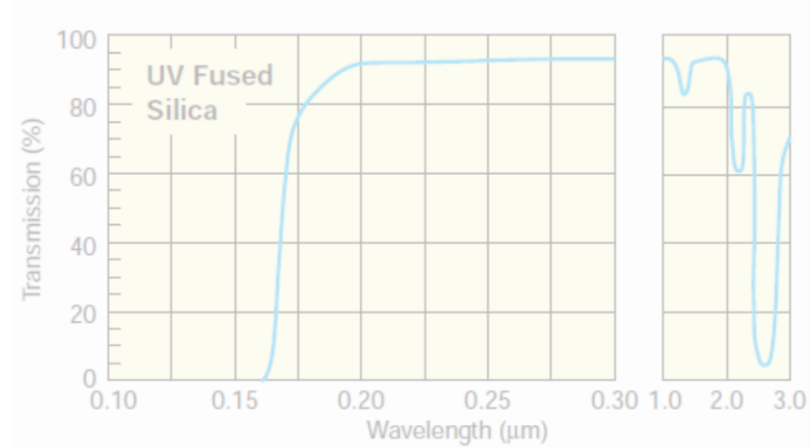
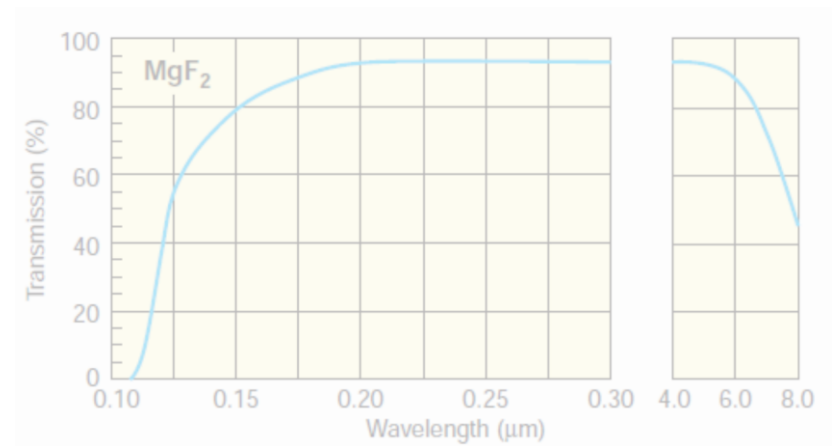
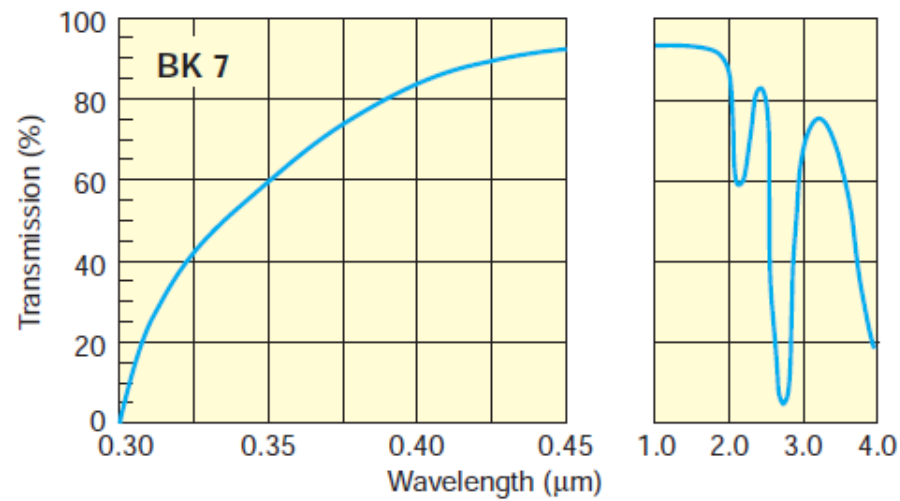
Femtosecond
frequency comb

Materiali (substrati per specchi/finestre)

BK 7

- most common borosilicate crown glasses
- used for VIS - NIR transmissive optics
- high homogeneity, low bubble content, and straightforward Manufacturability
- transmission range 380–2100 nm
- not recommended for temperature sensitive applications, such as precision mirrors

Newport catalogue

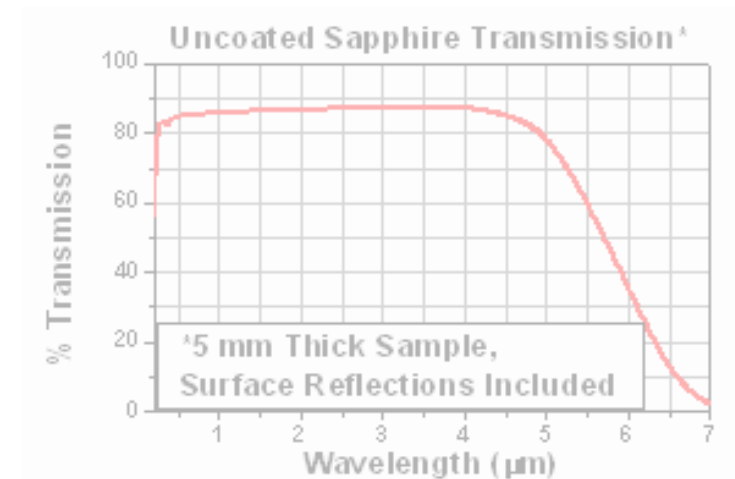
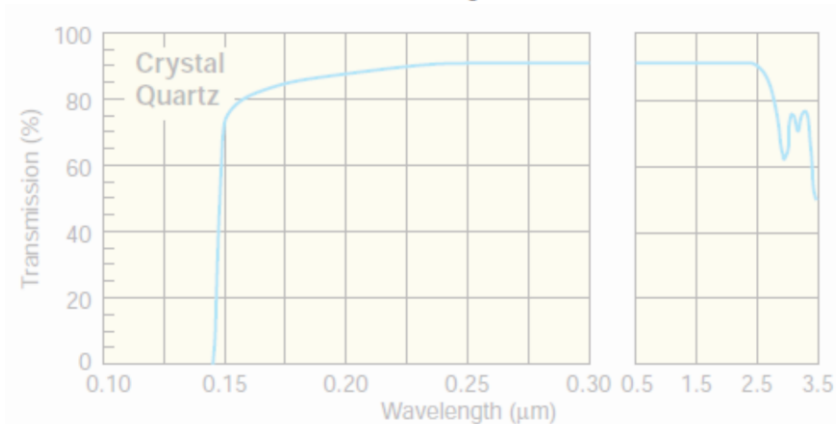
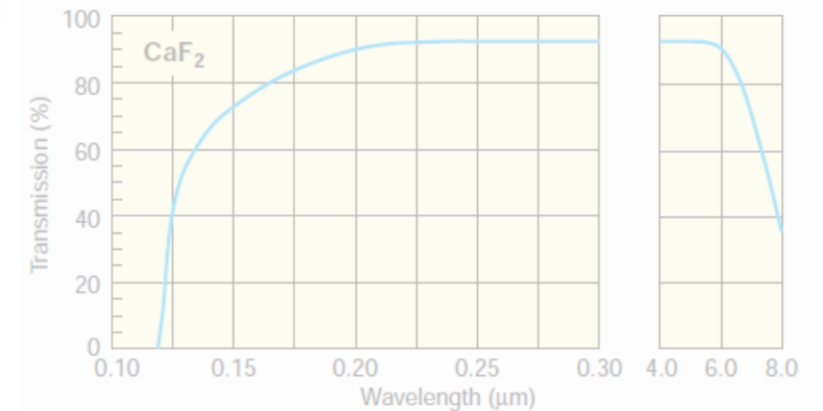
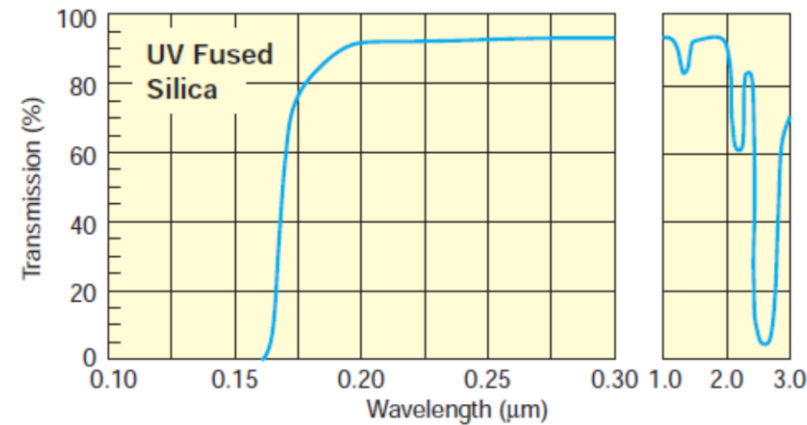
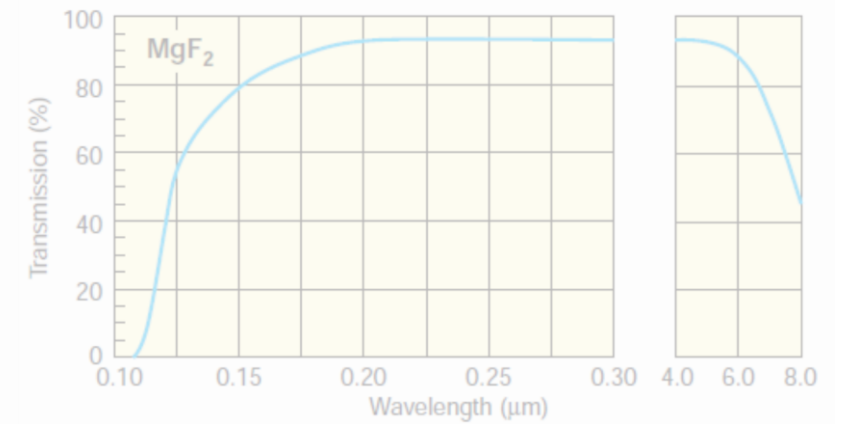
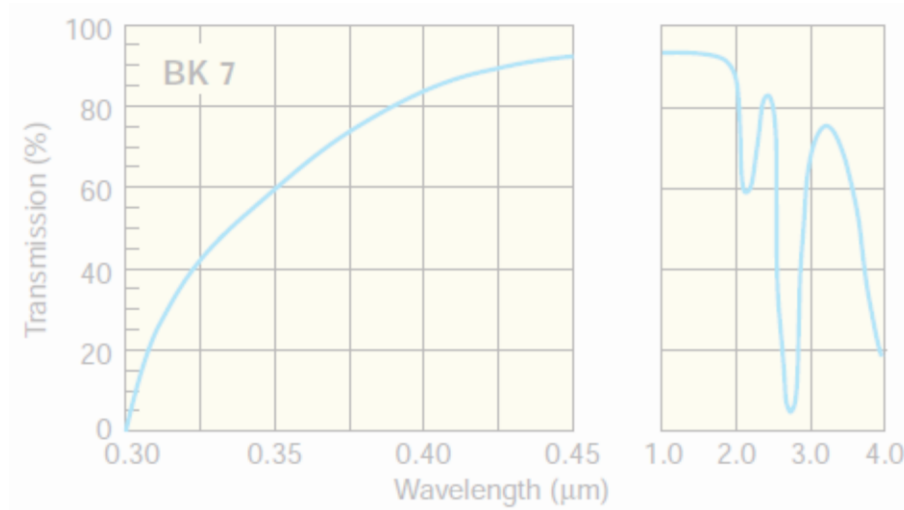


Materiali (substrati per specchi/finestre)

UV grade Fused Silica

- synthetic amorphous silicon dioxide, extremely high purity
- very low CTE
- excellent transmittance in the UV
- used for transmissive and reflective optics
- high laser damage threshold
- transmission and homogeneity > crystalline quartz (without orientation temperature instability probl.)

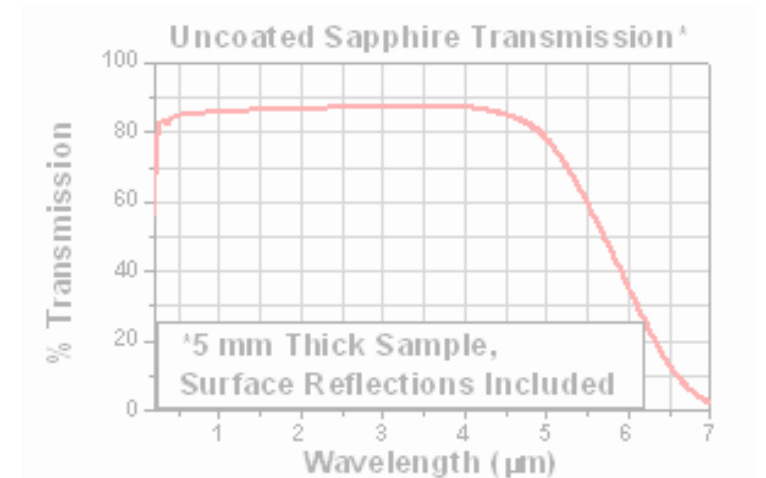
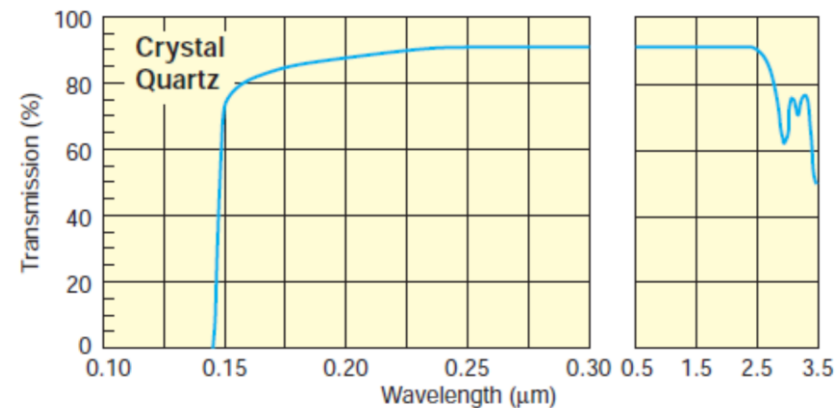
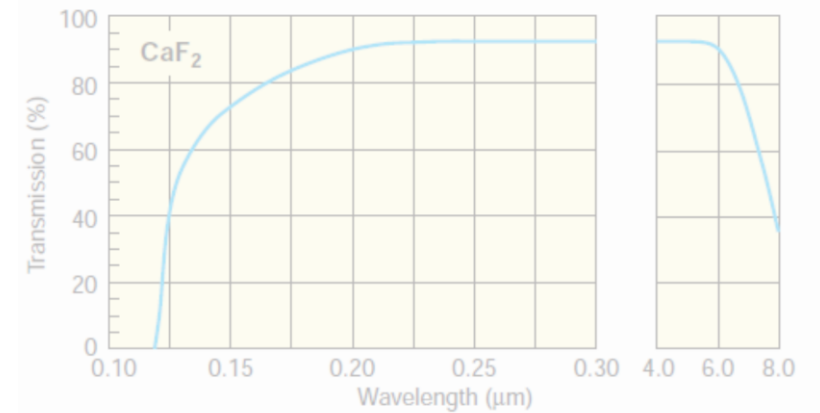
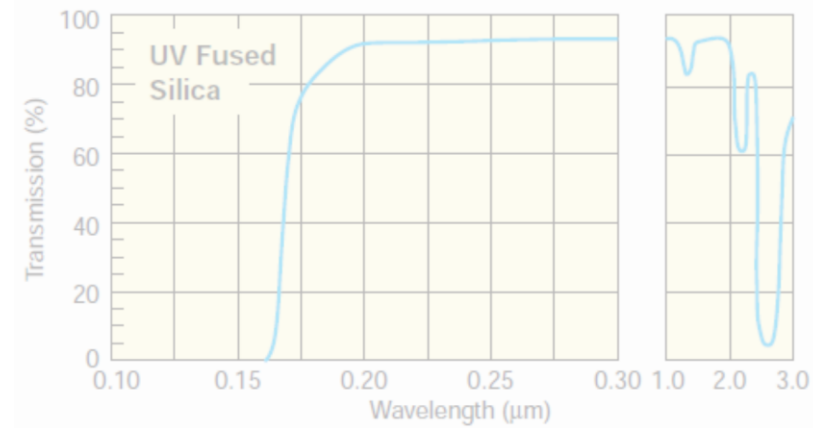
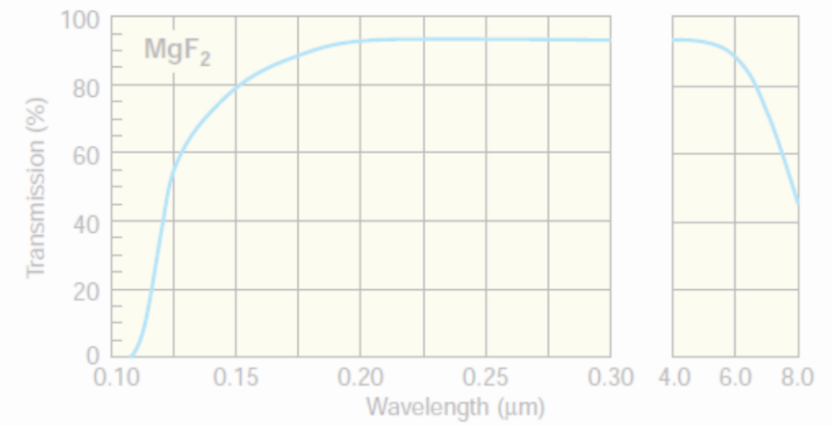
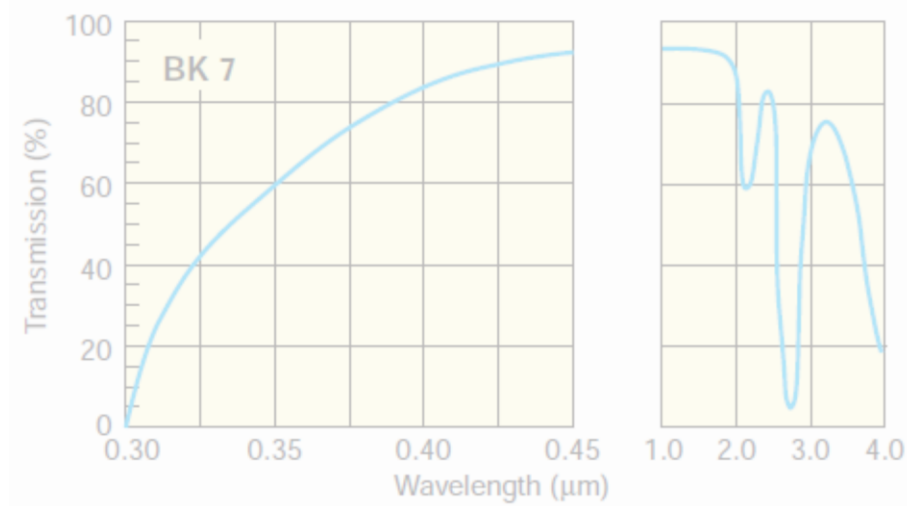
Newport catalogue



Materiali (substrati per specchi/finestre)

Crystal Quartz

- positive uniaxial birefringent
- good transmission from the vacuum UV to the NIR.
- commonly used for wave plates

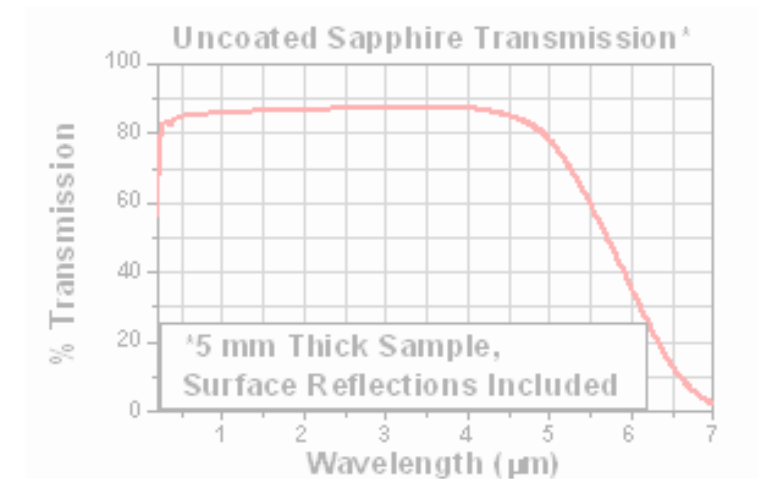
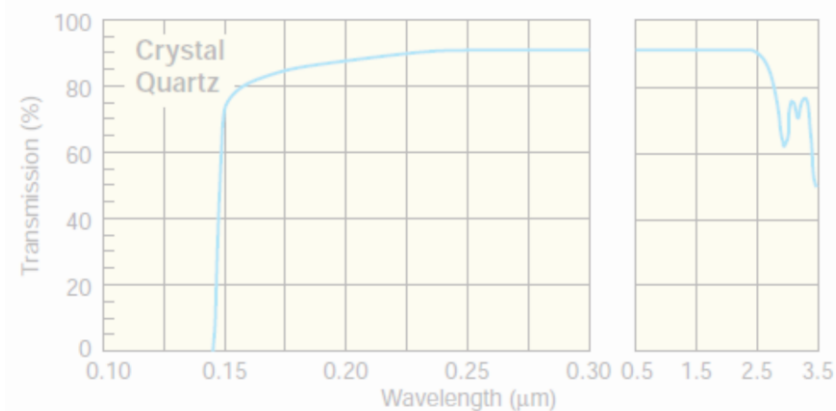
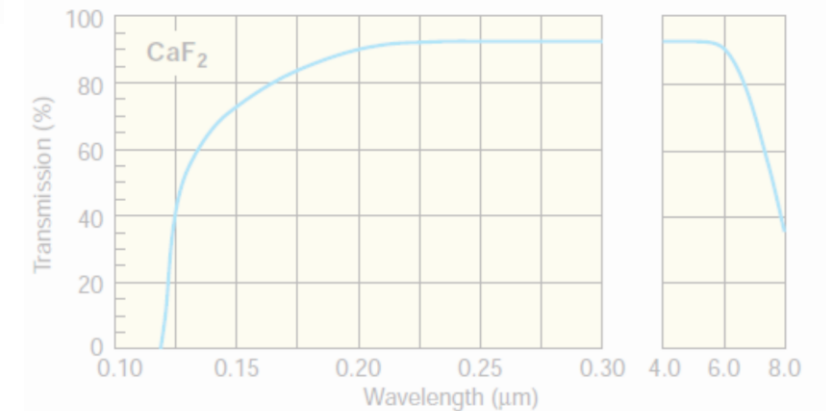
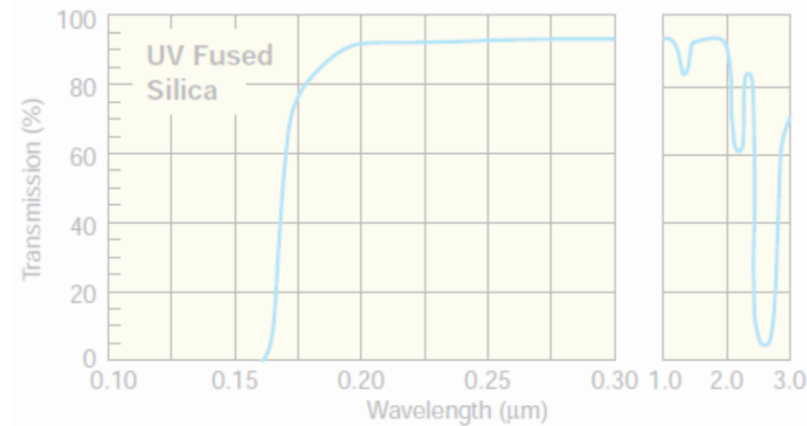
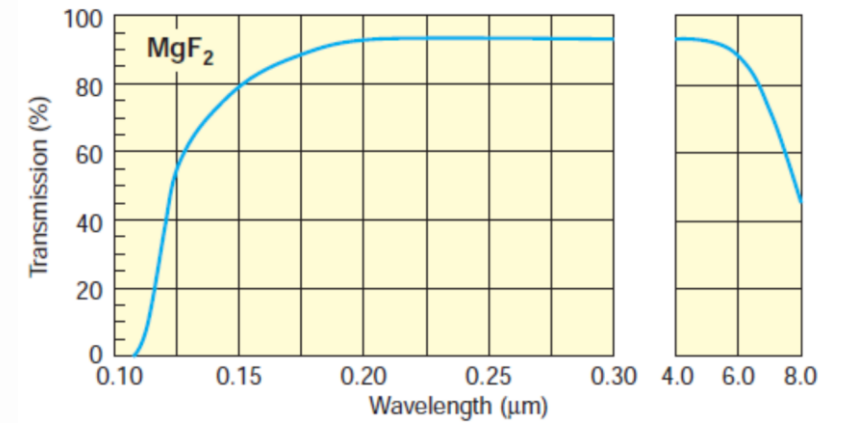
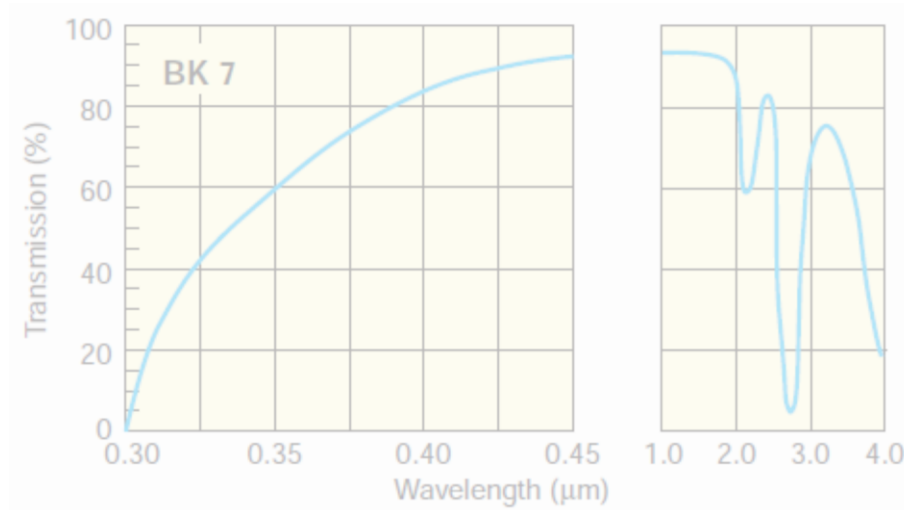


Materiali (substrati per specchi/finestre)

MgF₂

- Positive birefringent crystal
- typically oriented with the c axis parallel to the optical axis to reduce birefringent effects.
- good transmission from vacuum UV (150 nm) to IR (6 μm)
- used for lenses, windows, and polarizers for Excimer lasers
- MgF₂ is resistant to thermal and mechanical shock.

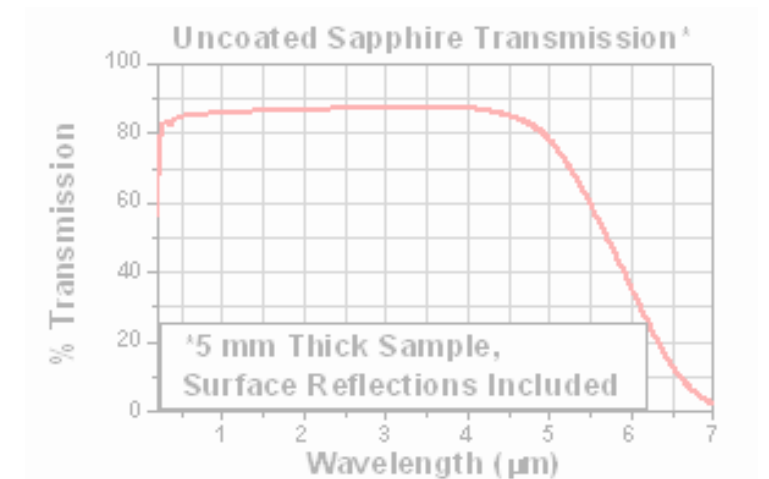
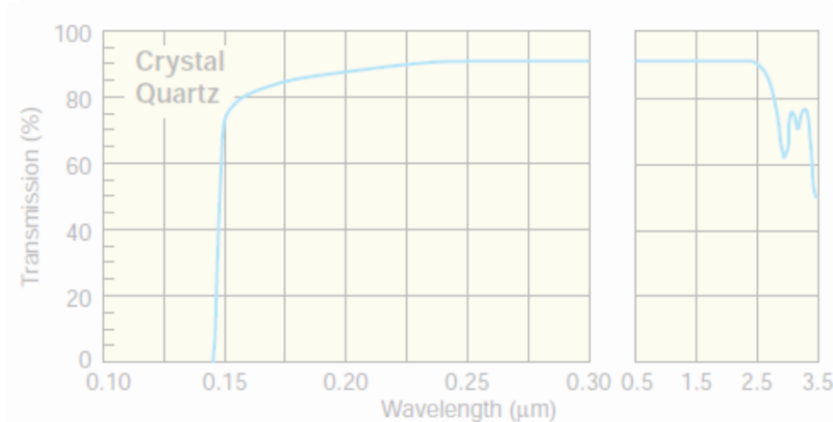
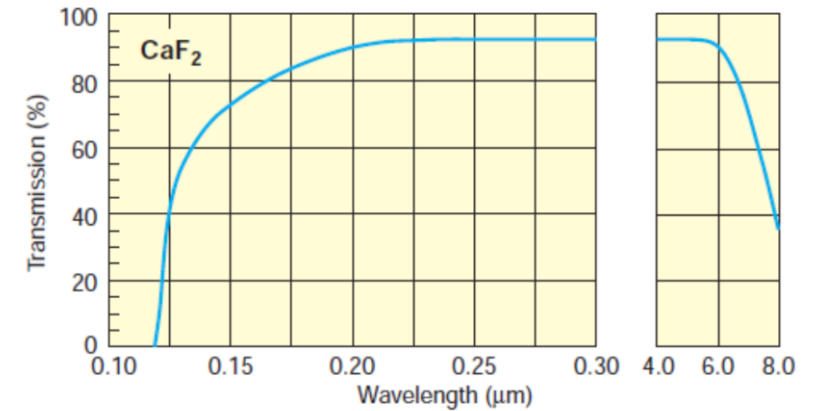
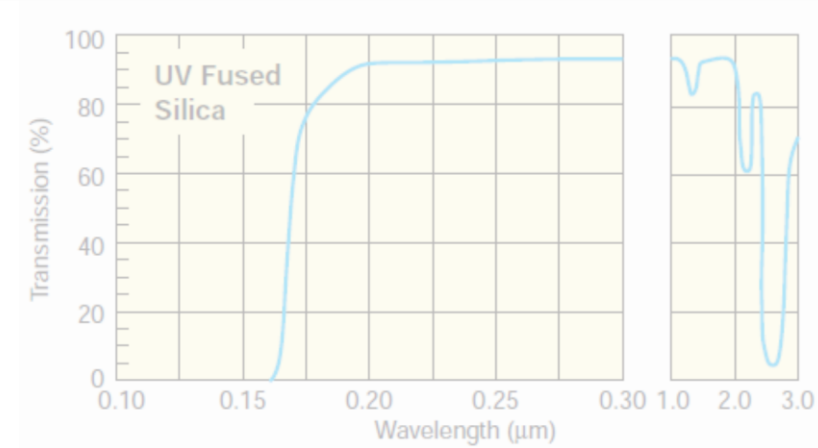
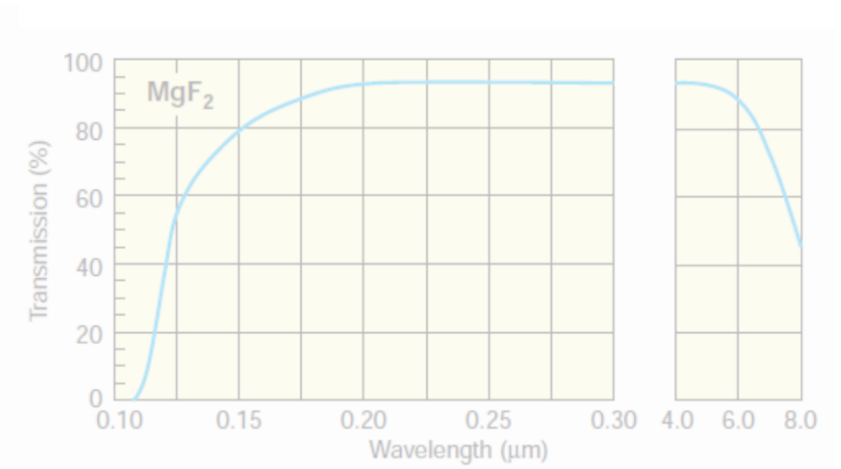
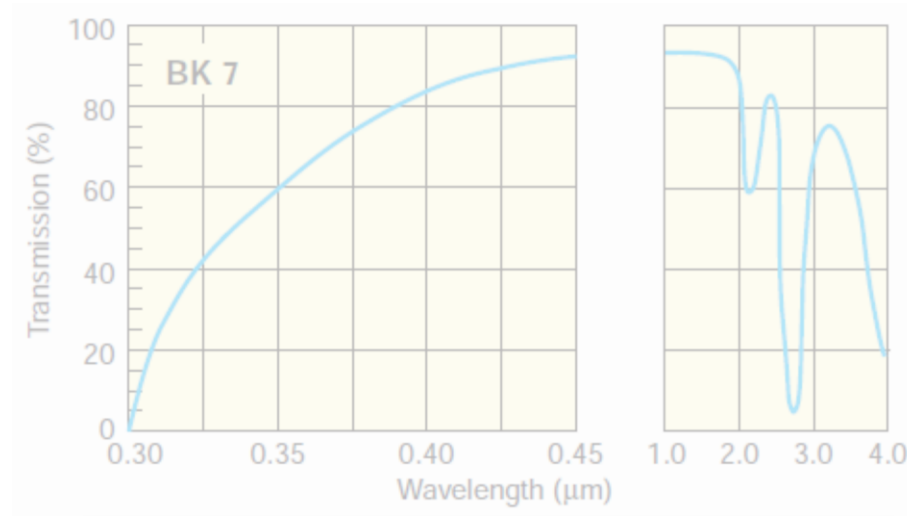
Newport catalogue



Materiali (substrati per specchi/finestre)

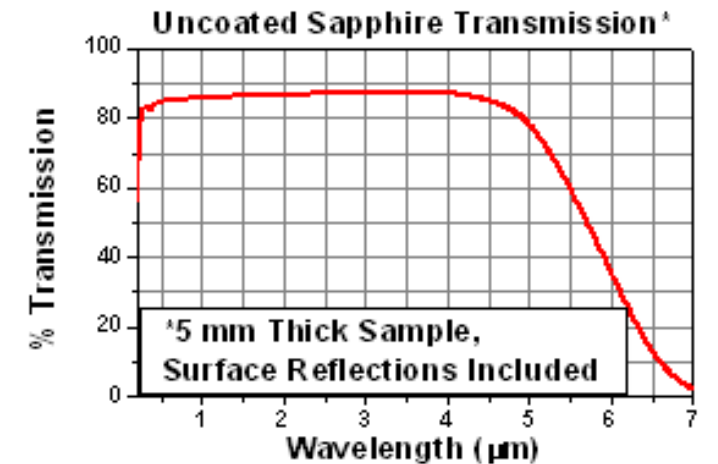
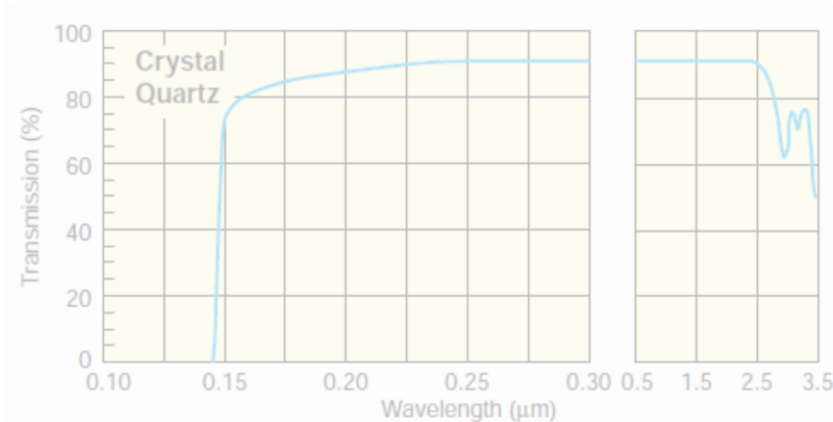
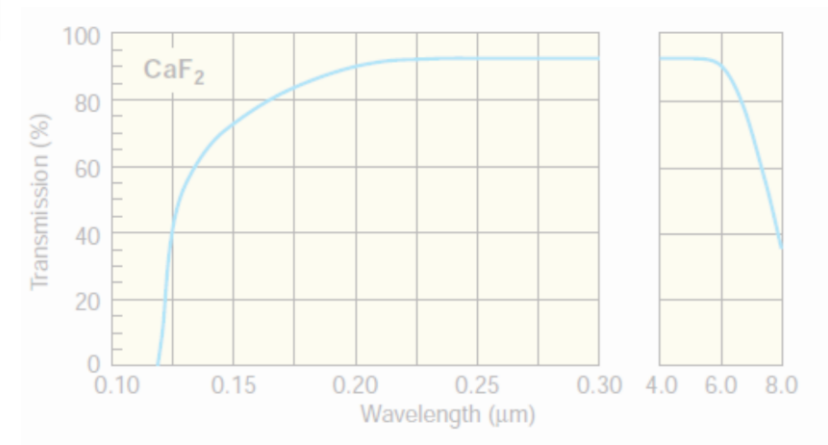
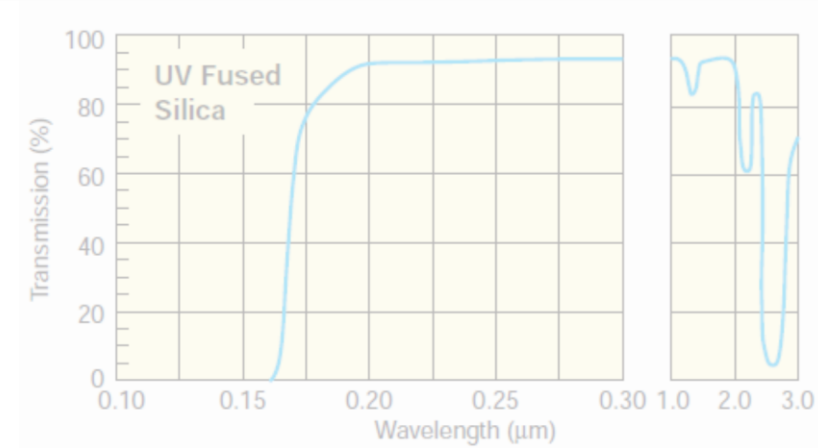
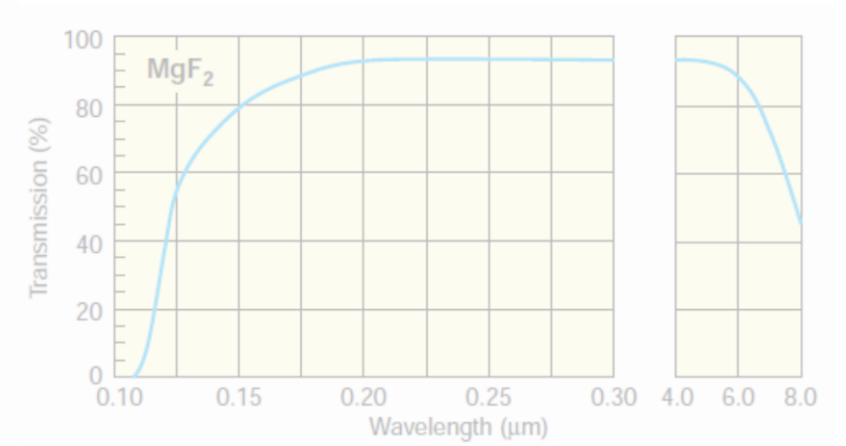
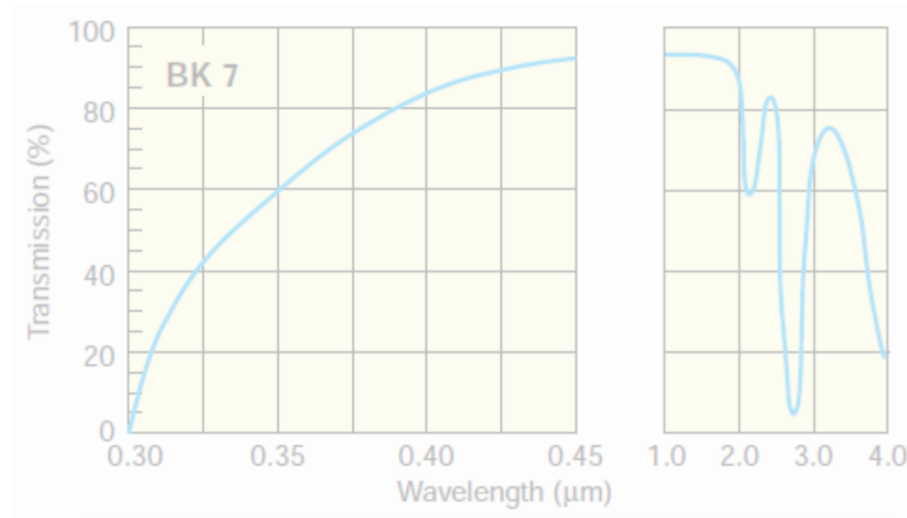
CaF₂

- cubic single crystal
- excellent UV transmission, down to 170 nm
- non-birefringent properties make it ideal for deep UV transmissive optics.
- CaF₂ is sensitive to thermal shock (care must be taken during handling)



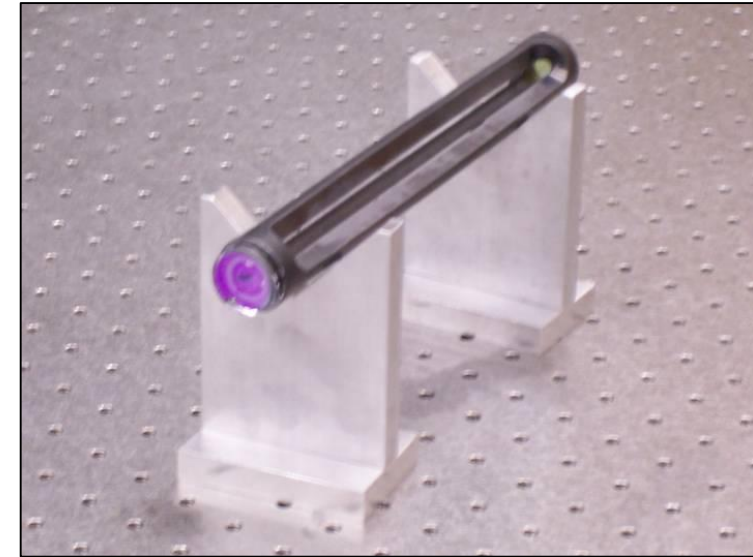
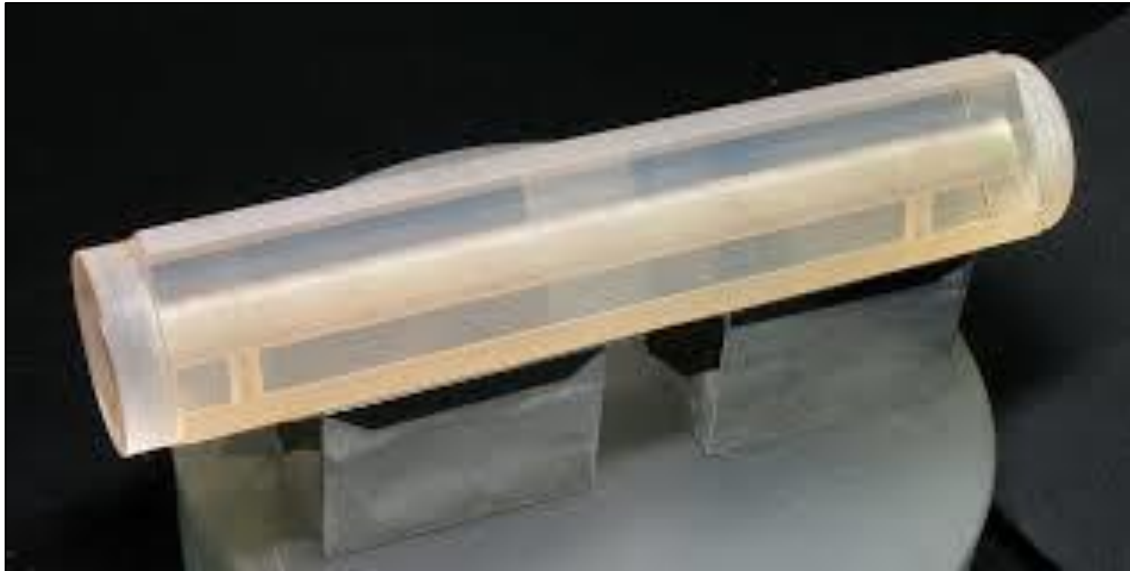
Materiali (substrati per specchi/finestre)

Sapphire



Zerodur, ULE, Invar

- Usati per costruire sistemi che abbiano una grande stabilità termica e meccanica



ACCIAIO

CTE = 12 ppm/°C

INVAR (FeNiCo)

CTE = 0.55 ppm/°C

← Nobel 1920

ULE (7972 Corning)

CTE < 30 ppb/°C

Charles-Edouard Guillaume

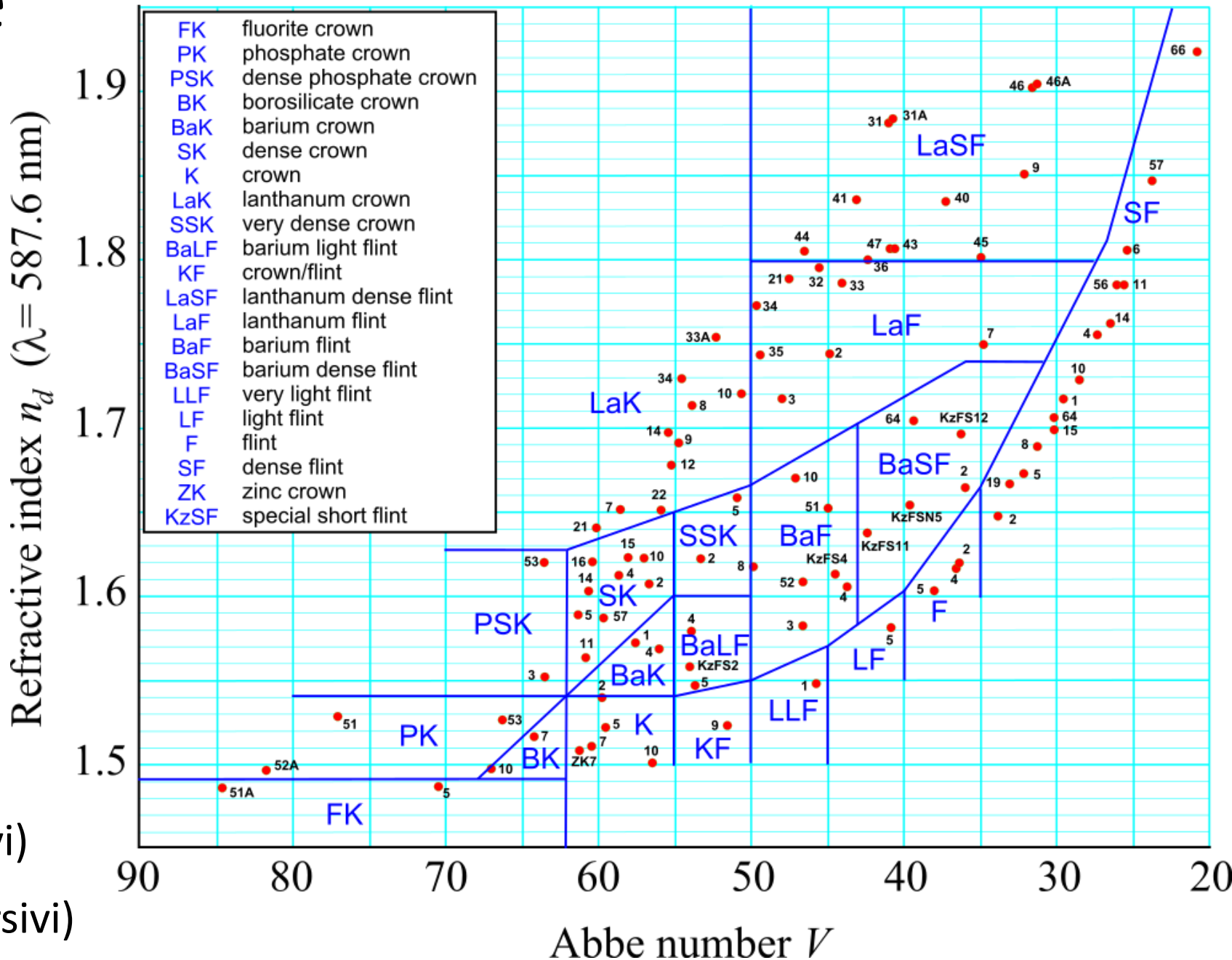
Numero di Abbe

$$V = \frac{n_D - 1}{n_F - n_C}$$

n_D, n_F e n_C
 indici di rifrazione @
 D (589,2 nm)
 F (486,1 nm)
 C (656,3 nm)

Vetri *CROWN* $V <$ (più dispersivi)

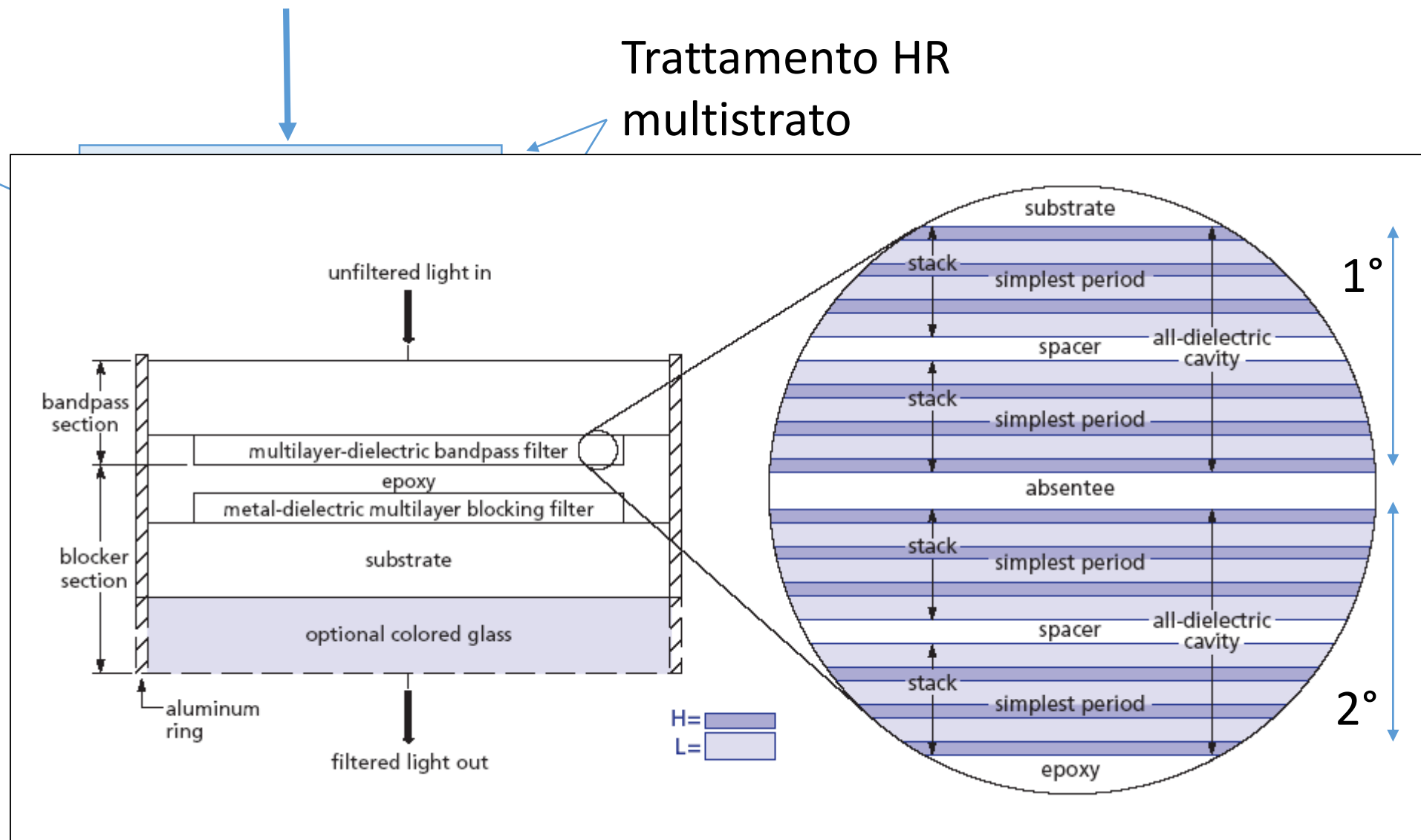
Vetri *FLINT* $V >$ (meno dispersivi)



Filtri interferenziali

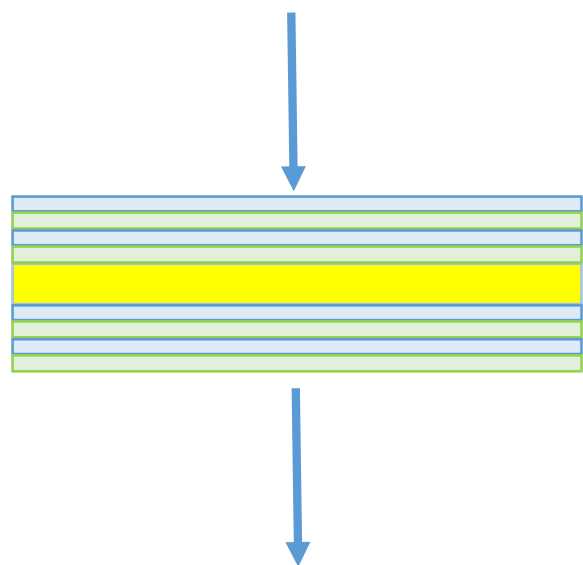
singolo
strato dielettrico
(spessore $\lambda/2$)

Trattamento HR
multistrato

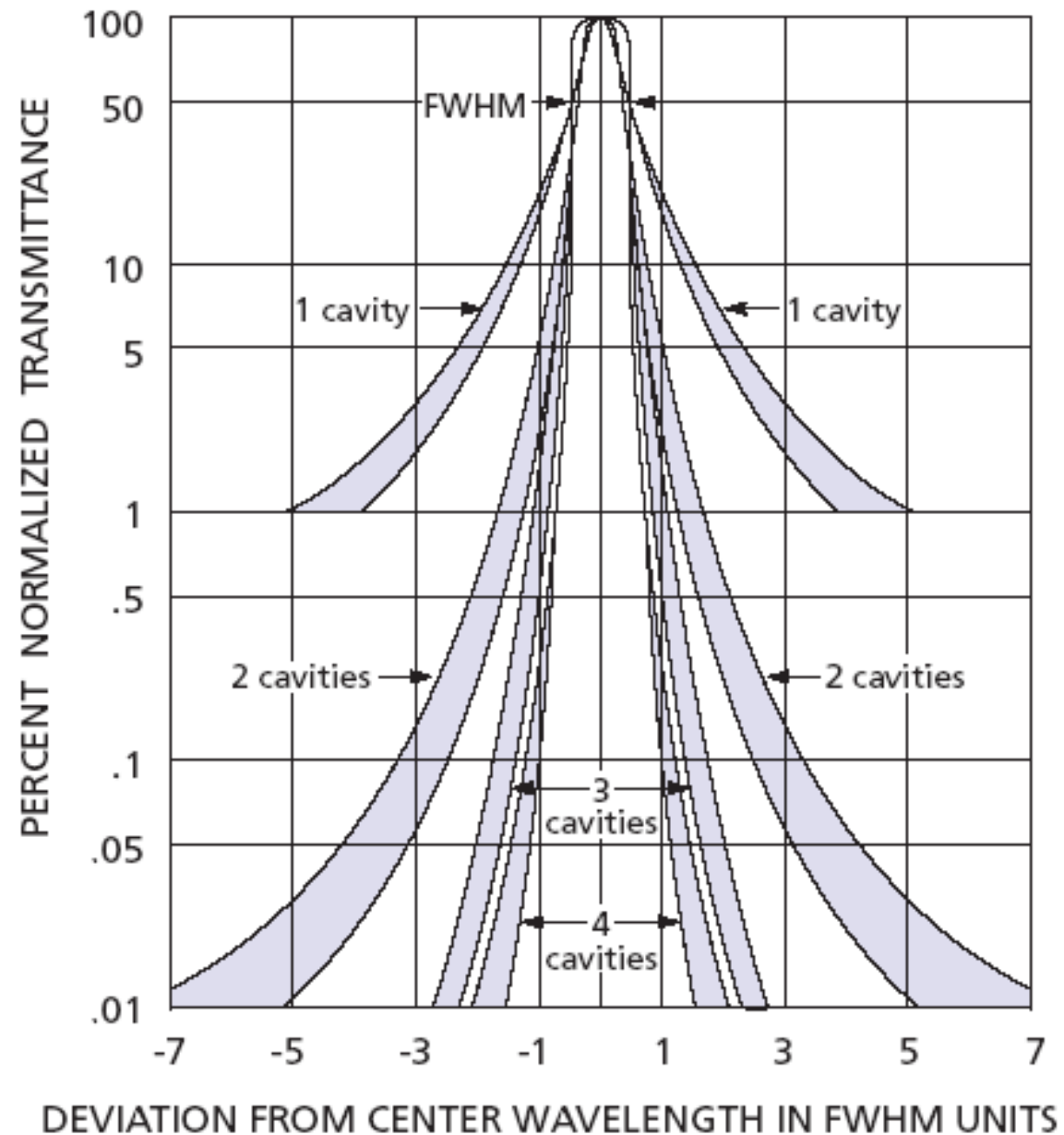


Singole o
multiple
cavità ottiche

Filtri interferenziali



Singole o
multiple
cavità ottiche



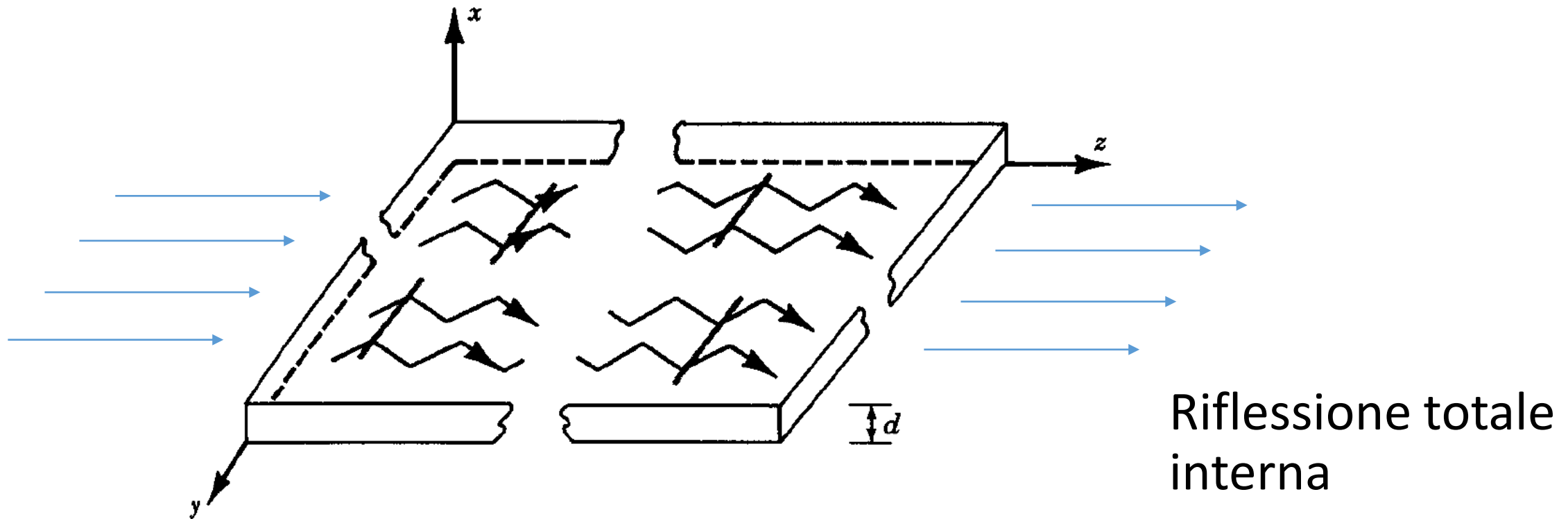
$$x = \left(\frac{\lambda - \lambda_{\max}}{\text{FWHM}} \right)$$

Propagazione guidata

- Testi/articoli di riferimento:
 - E. Hecht «Optics»
 - G. R. Fowles “Introduction to modern optics”
 - R.D. Guenther «Modern Optics»

Propagazione guidata

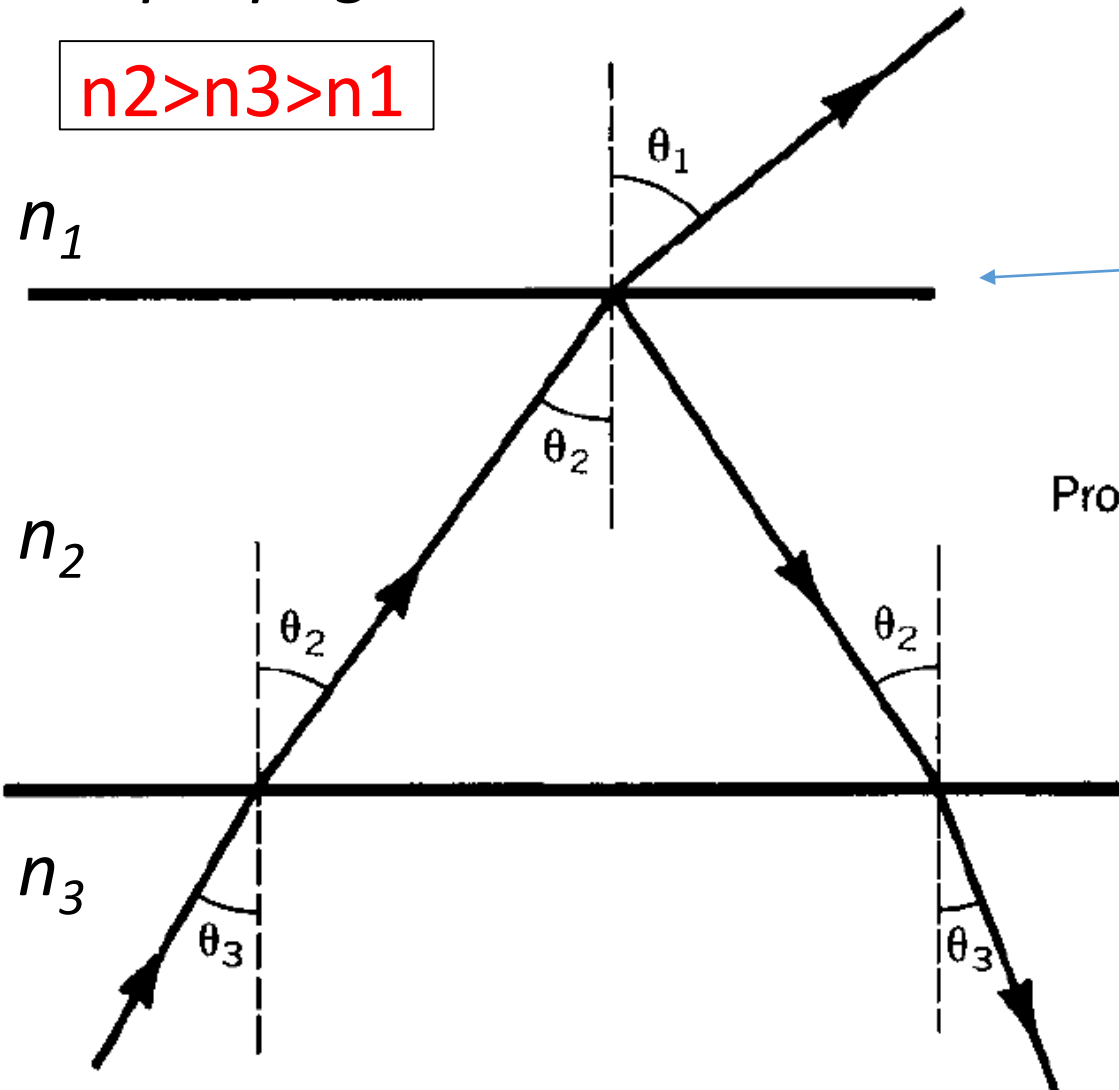
- Guida d'onda planare



Propagazione guidata

- Guida d'onda planare –
propagation mode -

$$n_2 > n_3 > n_1$$



Per $0 \leq \theta_1 \leq \frac{\pi}{2}$ il raggio passa attraverso

$$n_2 \sin \theta_2 = n_1 \sin \theta_1 = n_1$$

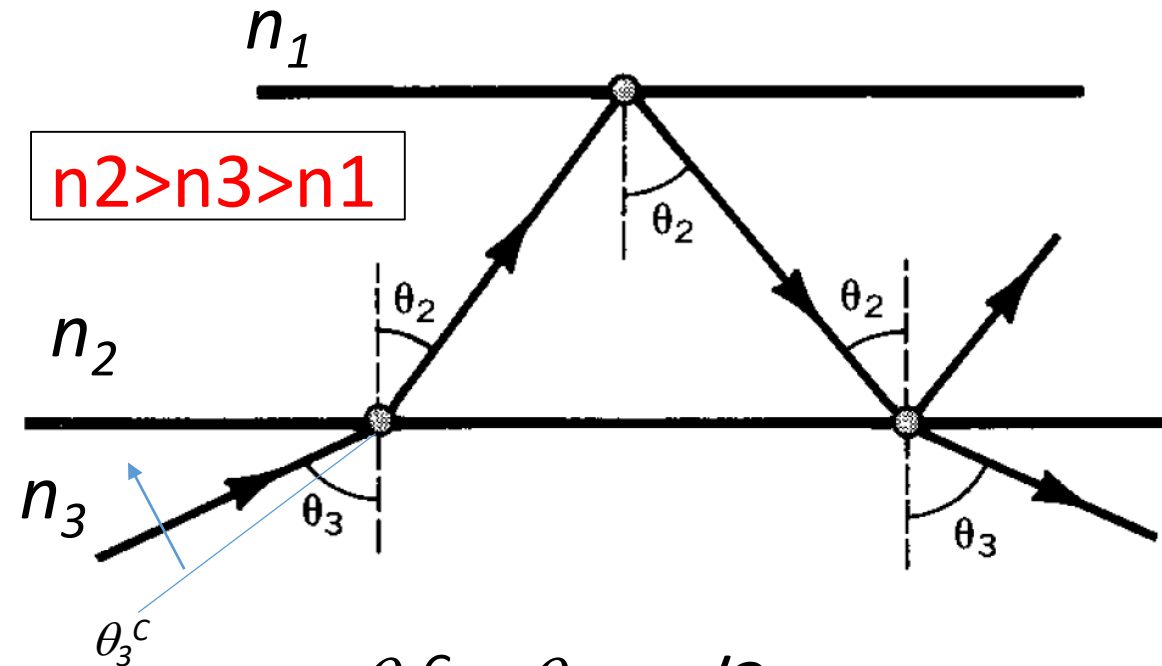
$$n_3 \sin \theta_3 = n_2 \sin \theta_2 = n_1$$

$$\theta_3 < \sin^{-1} \left(\frac{n_1}{n_3} \right) = \theta_3^c$$

$$\theta_2 < \sin^{-1} \left(\frac{n_1}{n_2} \right)$$

Propagazione guidata

- Guida d'onda planare – propagazione di substrato



$$\theta_3^c < \theta_3 < \pi/2$$

$$\sin^{-1}\left(\frac{n_1}{n_3}\right) < \theta_3 < \frac{\pi}{2}$$

Condizioni su angolo θ_2

$$n_2 \sin \theta_2 = n_3 \sin \theta_3^c$$

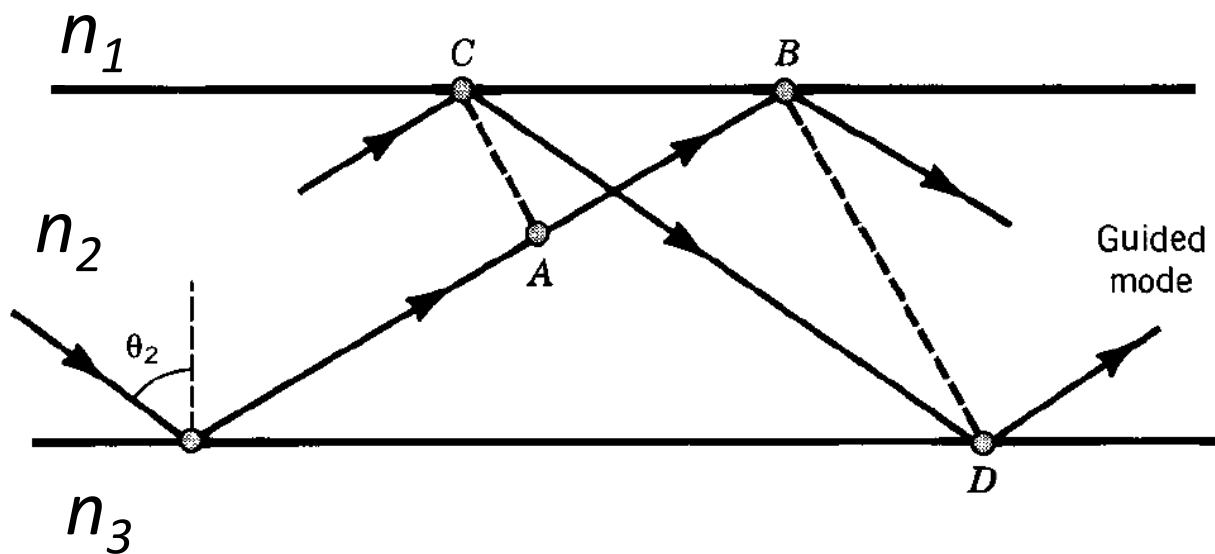
$$n_2 \sin \theta_2 = n_3$$

$$\sin^{-1}\left(\frac{n_1}{n_2}\right) < \theta_2 < \sin^{-1}\left(\frac{n_3}{n_2}\right)$$

Propagazione guidata

- Guida d'onda planare – propagazione guidata

$$n_2 > n_3 > n_1$$



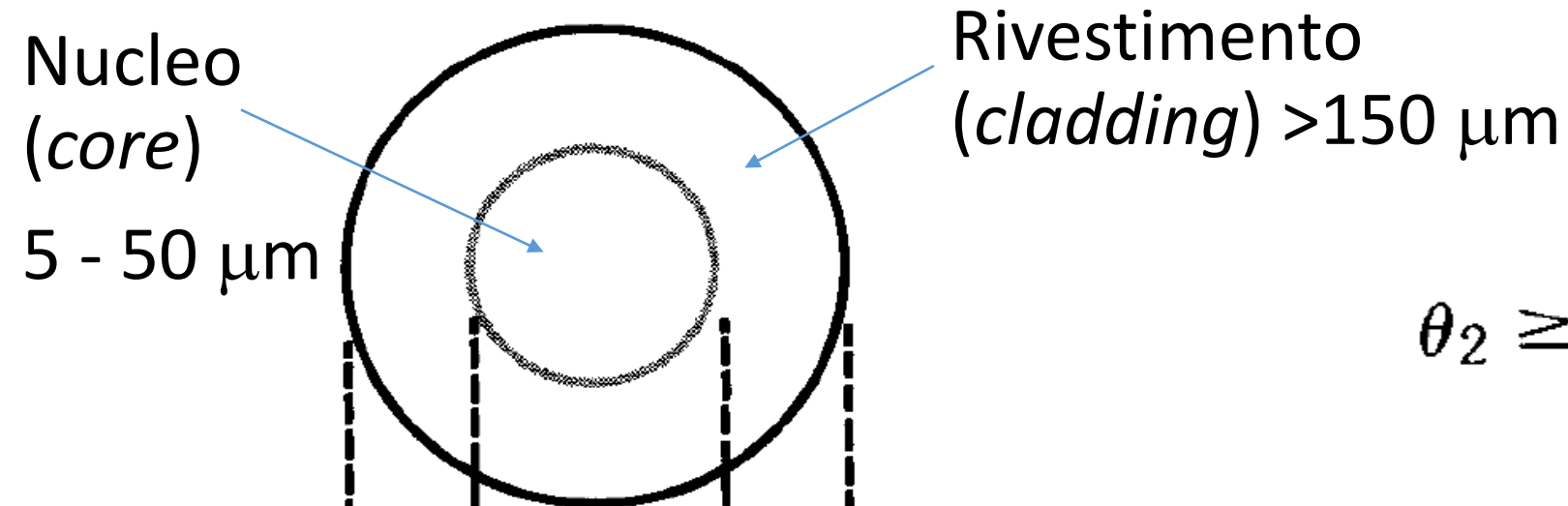
$$n_2 \sin \theta_2 = n_1 \sin \theta_1$$
$$n_2 \sin \theta_2 = n_3 \sin \theta_3$$

$$\sin \theta_2 > n_1/n_2$$
$$\sin \theta_2 > n_3/n_2$$

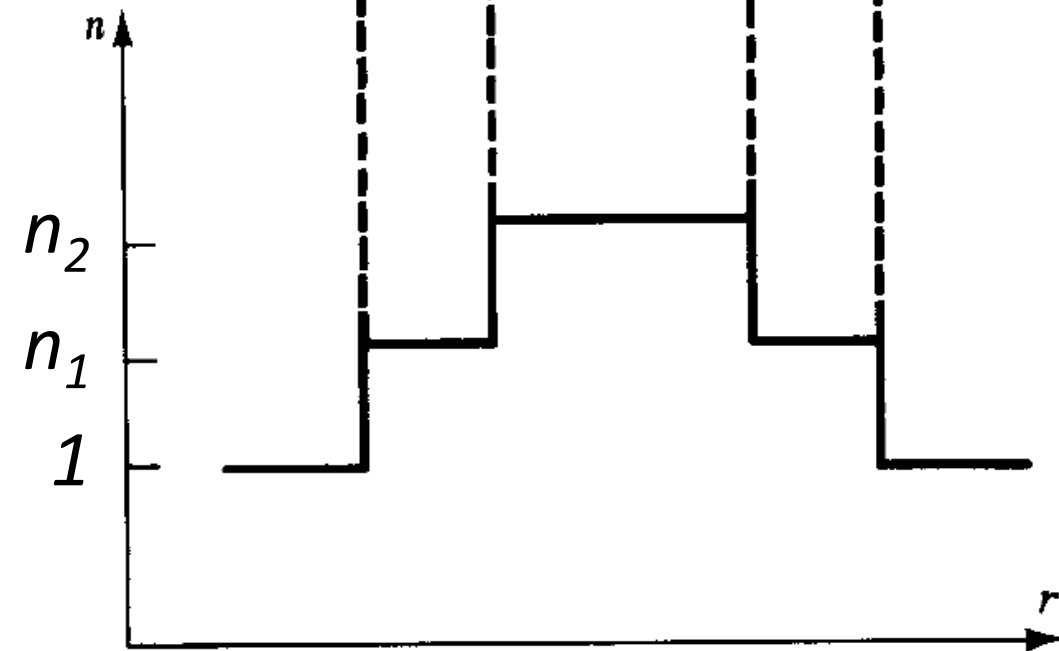
$$n_3 > n_1$$

$$\sin^{-1} \left(\frac{n_3}{n_2} \right) < \theta_2 < \frac{\pi}{2}$$

Propagazione guidata

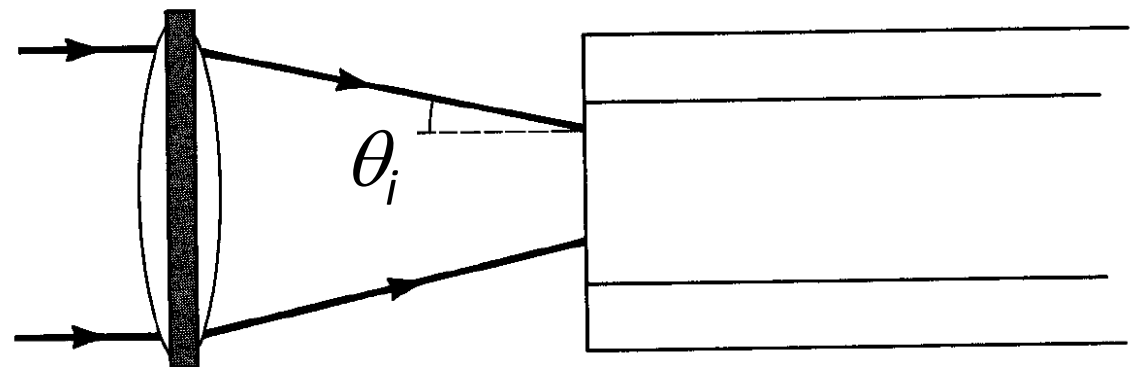


$$\theta_2 \geq \theta_c = \sin^{-1} \frac{n_1}{n_2}$$



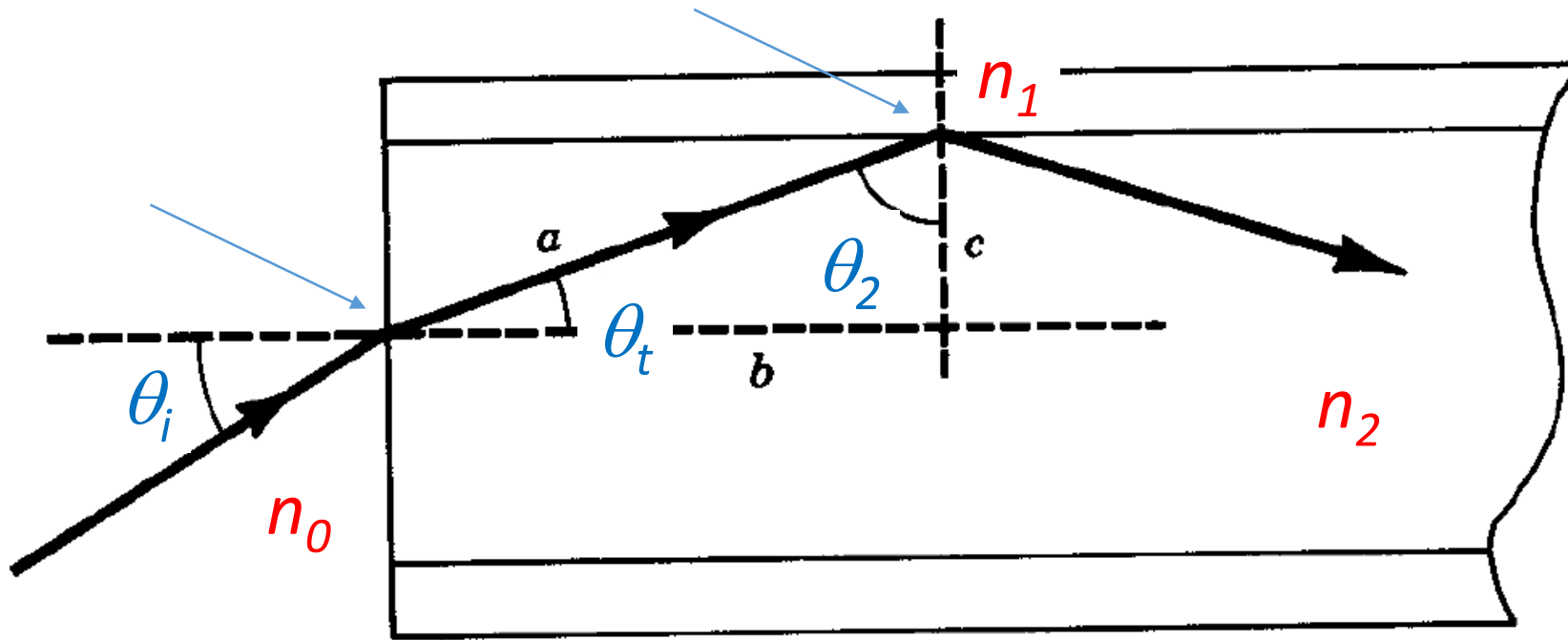
Step-index fiber

Tutti i raggi con angolo $\theta_i < \theta_{NA}$
sono accoppiati



(a)

Propagazione guidata



$$n_2 \sin \theta_2 = n_1 \sin \theta_1 = n_1$$

$$\theta_2 > \sin^{-1} (n_1/n_2)$$

$$\theta_2 > \theta_2^c$$

$$\theta_2 + \theta_t = \pi/2$$

$$n_0 \sin \theta_i = n_2 \cos \theta_2 = n_1$$

$$\theta_i < \theta_i^c = \theta_{NA}$$

Propagazione guidata

$$n_0 \sin \theta_i = n_2 \cos \theta_2 = n_1$$

$$\theta_i < \theta_i^c = \theta_{NA}$$

$$\begin{aligned} n_0 \sin \theta_i &< n_2 \sqrt{1 - \sin^2 \theta_2^c} \\ &< n_2 \sqrt{1 - (n_1/n_2)^2} \\ &< \sqrt{n_2^2 - n_1^2} = NA \end{aligned}$$

Apertura numerica

$$NA = n_0 \sin \theta_{NA} = n_2 \sin \theta_t$$

$$= n_2 \sqrt{1 - \left(\frac{n_1}{n_2}\right)^2}$$

$$= \sqrt{n_2^2 - n_1^2}$$

È proporzionale al massimo angolo di incidenza che la guida può accettare e trasmettere

raggi *meridiani* = incrociano l'asse ottico della guida

Propagazione guidata

$$n_0 = 1$$

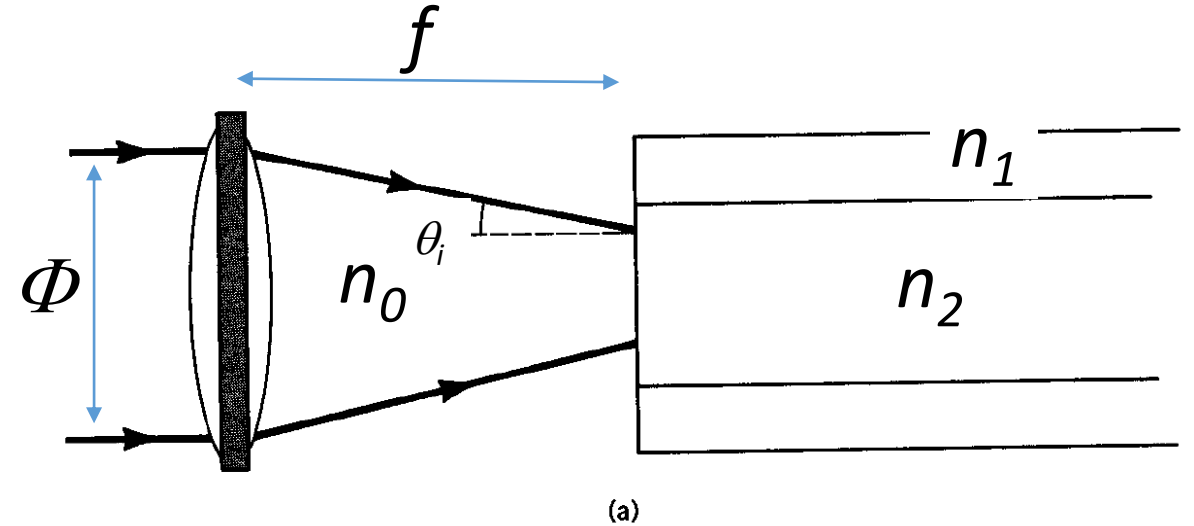
$$n_1 = 1.5$$

$$n_2 = 1.53$$

$$\theta_2^c > \sin^{-1}(n_1/n_2) = 79^\circ$$

$$NA = n_0 \sin \theta_{NA} = \sqrt{n_2^2 - n_1^2} = 0.3$$

$$\theta_{NA} = 18^\circ$$



$$\theta_i < \theta_{NA} = 18^\circ$$

Per accoppiare luce in fibra o collimare un fascio in uscita da una fibra scegliere un collimatore con $NA_{coll} \geq NA_{fibra}$

$$f = 0.5 \Phi_{(1/e^2)} / NA$$

Beam diameter:

$$\Phi_{beam} = 1.0 \text{ mm}$$

Effective numerical aperture of fiber:

$$NA = 0.08$$

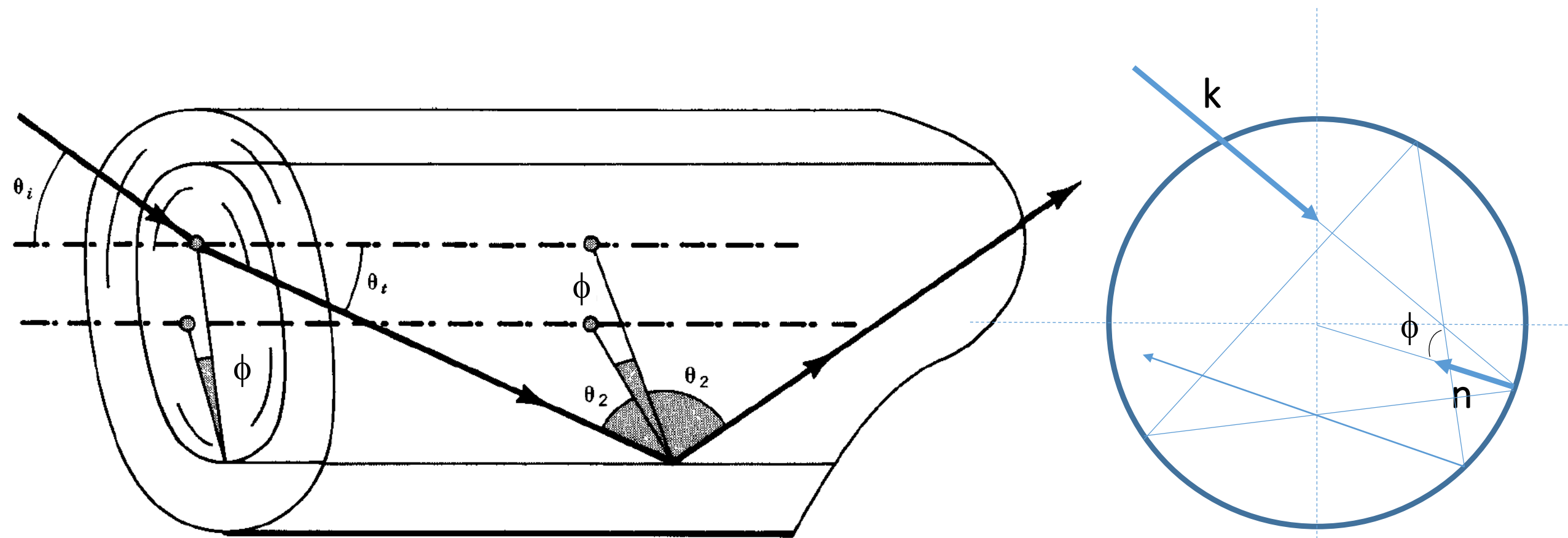
Focal length:

$$f' = 0.5 \cdot 1.0 \text{ mm} / 0.08 = 6.25 \text{ mm}$$

-> select lens with

$$f' = 6.2 \text{ mm}$$

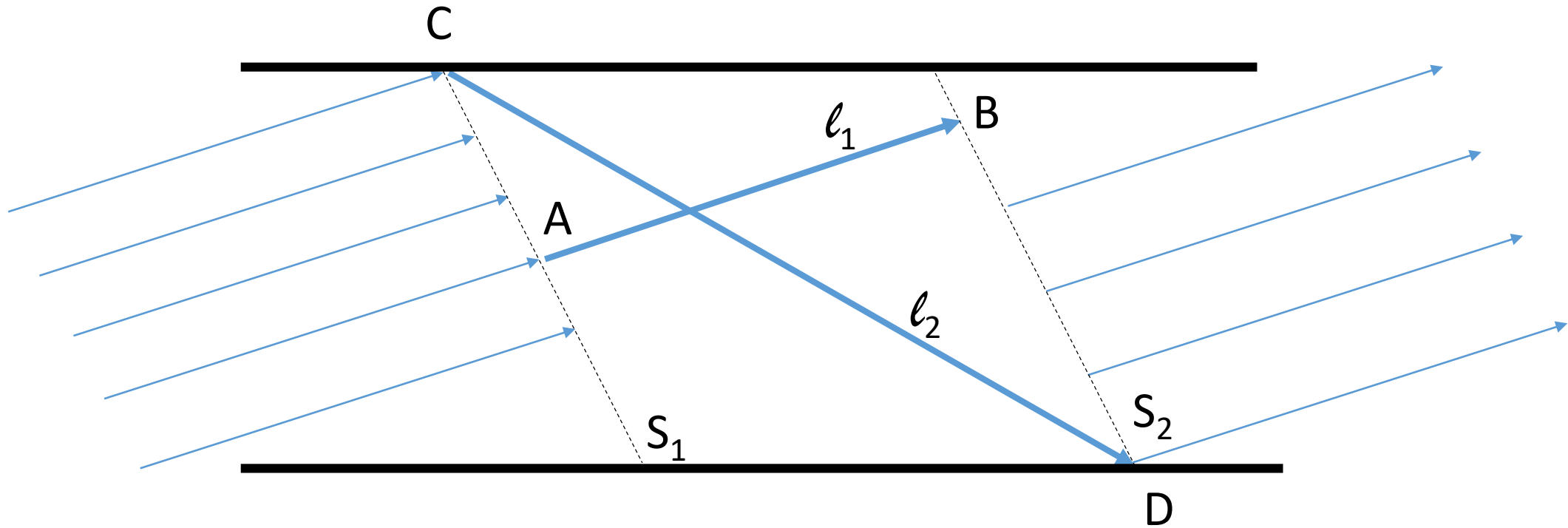
Raggi sghembi (*skew rays*)



Raggi che non incrociano l'asse ottico della guida

$$(NA)_s = \frac{NA}{\cos \phi}$$

Relazione di dispersione



Impongo che le due superfici S_1 ed S_2 siano equifase

δ_C ed δ_D shift di fase per rifl. totale

$$k (\ell_2 - \ell_1) + \delta_C + \delta_D = 2 m \pi$$

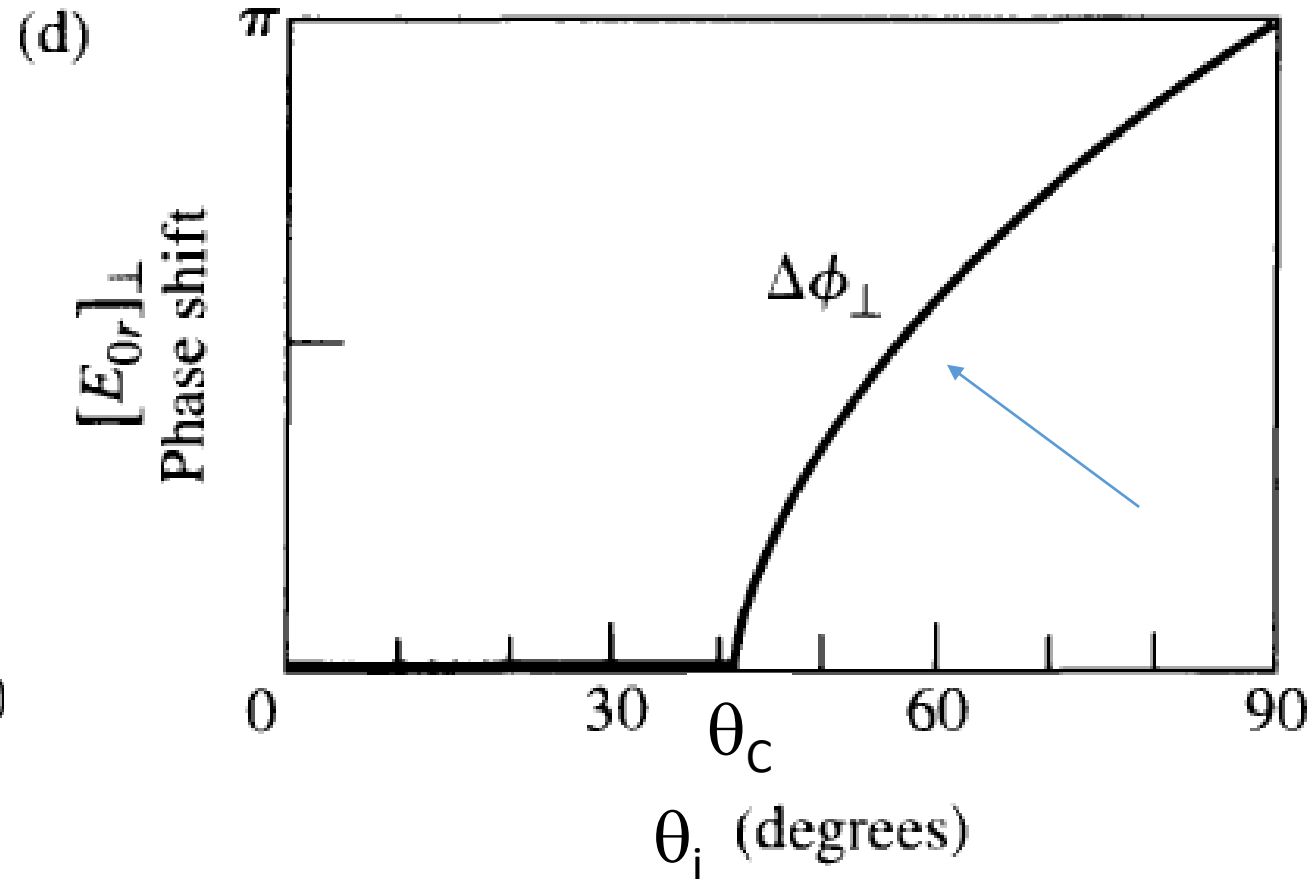
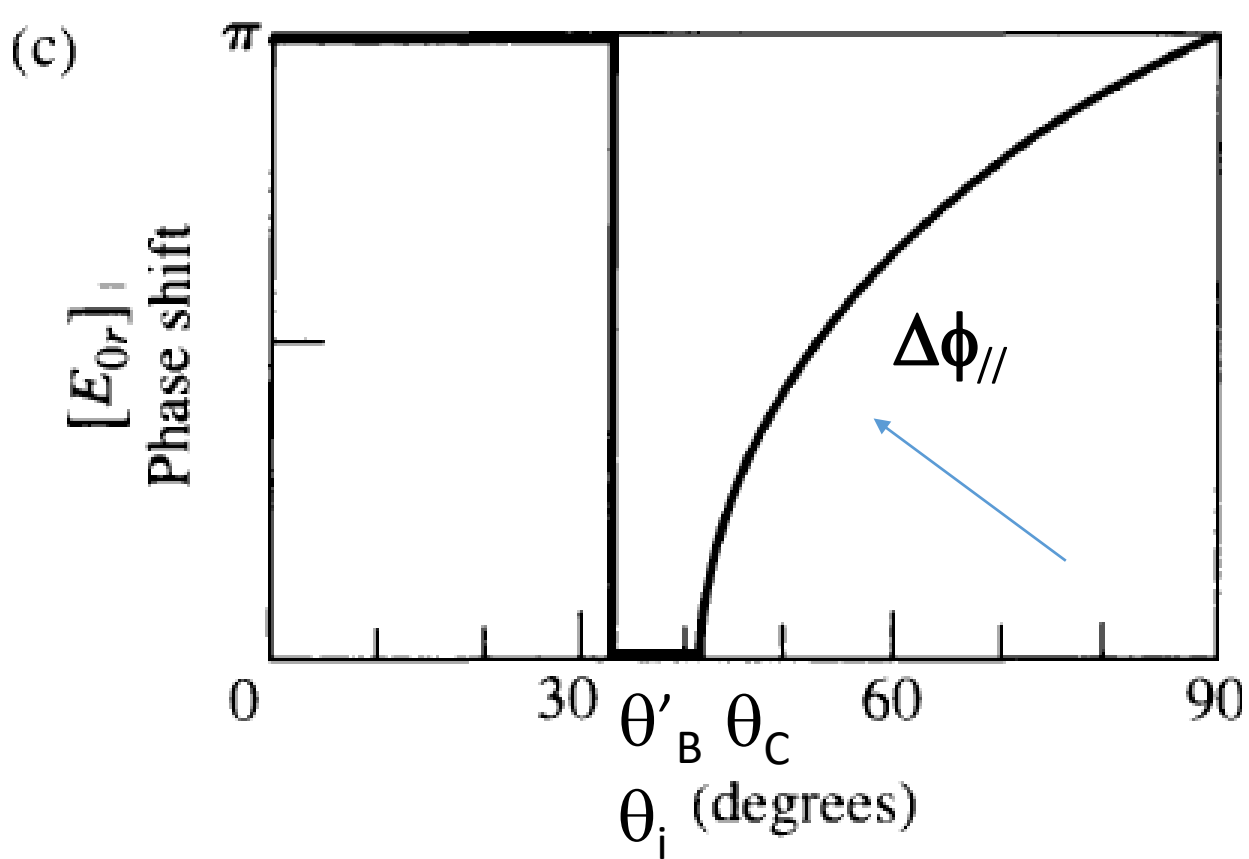
Riflessione Rifrazione

- shift di fase

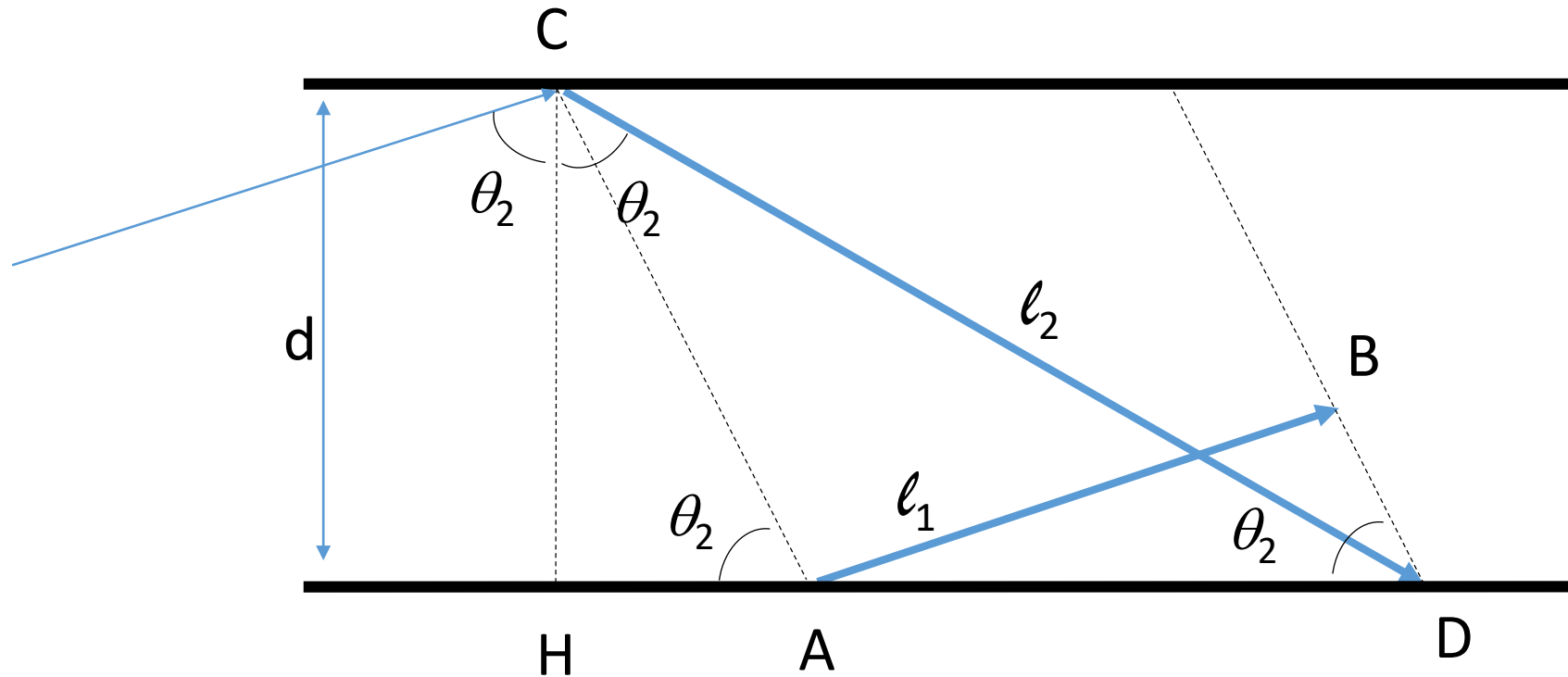
$$n_i = 1.5$$

$$n_t = 1$$

Riflessione interna



Relazione di dispersione



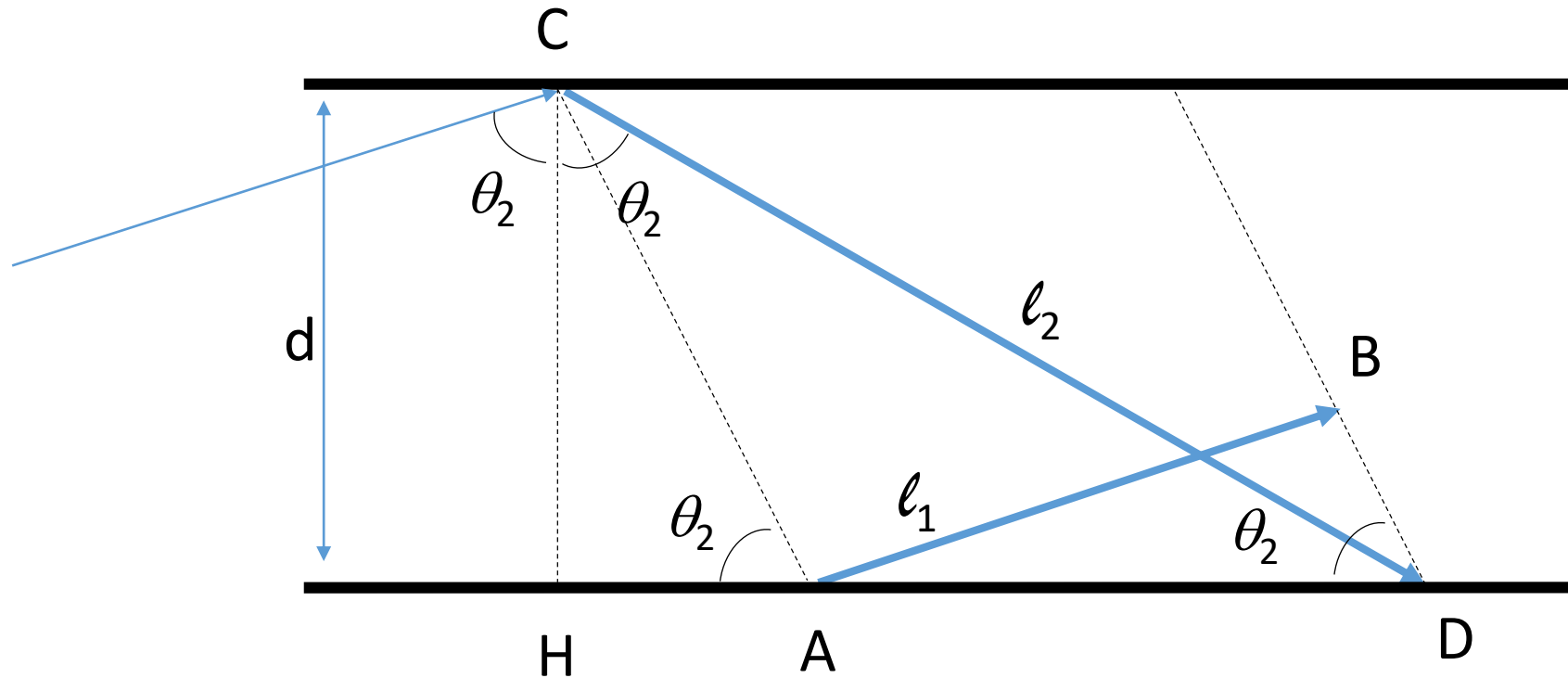
$$l_2 \cos \theta_2 = d$$

$$l_1 = AD \sin \theta_2$$

$$AD + HA = l_2 \sin \theta_2$$

$$d = HA \tan \theta_2$$

Relazione di dispersione



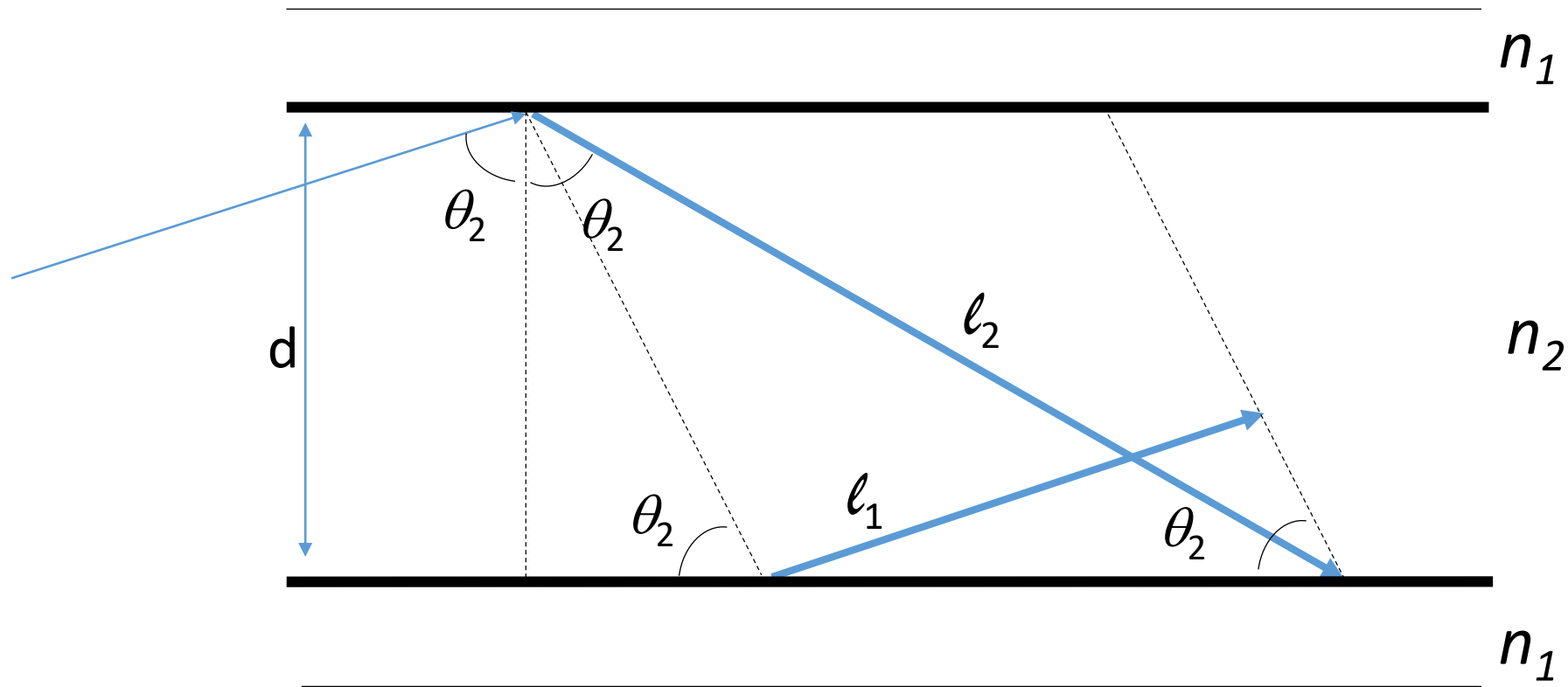
$$l_2 = d / \cos \theta_2$$

$$l_2 - l_1 = 2 d \cos \theta_2$$

$$l_1 = l_2 \sin^2 \theta_2 - d \cos \theta_2$$

$$2 k d \cos \theta_2 + \delta_C(\theta_2) + \delta_D(\theta_2) = 2 m \pi$$

Relazione di dispersione



$$2 k d \cos \theta_2 + \delta_C(\theta_2) + \delta_D(\theta_2) = 2 m \pi$$

Per modi guidati $\sin \theta_2 > n_1/n_2 \implies \cos \theta_2 < \sqrt{1 - (n_1/n_2)^2}$

Relazione di dispersione

$$m_{\text{MAX}} = 2d/\lambda_0 \sqrt{n_2^2 - n_1^2} + (\delta_C + \delta_D)/2\pi$$

Numero di modi
nella fibra



$$2 k_0 d \sqrt{n_2^2 - n_1^2} + \delta_C(\theta_2) + \delta_D(\theta_2) = 2 m \pi$$



$$2 k d \cos \theta_2 + \delta_C(\theta_2) + \delta_D(\theta_2) = 2 m \pi$$

Per modi guidati $\sin \theta_2 > n_1/n_2 \implies \cos \theta_2 < \sqrt{1 - (n_1/n_2)^2}$

Relazione di dispersione

$$m_{\text{MAX}} = 2d/\lambda_0 \sqrt{n_2^2 - n_1^2} + (\delta_C + \delta_D)/2\pi$$

Numero di modi
nella fibra

$$V = k_0 d \sqrt{n_2^2 - n_1^2}$$

Spessore normalizzato
della fibra

Es.

$$n_0 = 1$$

$$n_1 = 1.5$$

$$n_2 = 1.53$$

$$\lambda_0 = 1 \mu\text{m}$$

$$d = 100 \mu\text{m}$$

$$V = 2\pi/\lambda_0 d \sqrt{1.53^2 - 1.5^2} = 190 \text{ rad}$$

$$m_{\text{MAX}} = V/\pi + (2\pi)/2\pi = 61 \text{ modi}$$

Relazione di dispersione

$$m_{\text{MAX}} = 2d/\lambda_0 \sqrt{n_2^2 - n_1^2} + (\delta_C + \delta_D)/2\pi$$

Numero di modi
nella fibra

$$V = k_0 d \sqrt{n_2^2 - n_1^2}$$

Spessore normalizzato
della fibra

Condizione per
singolo modo

$$0 < V < 2.405$$

→ soluz. eq. Maxwell

Fibre ottiche

PATCH CABLES

Single Mode Patch Cables



Single Mode

Polarization-Maintaining Single Mode Patch Cables



View New

Polarization Maintaining

PM FC/PC Patch Cables



View New

FC/PC

PM FC/APC Patch Cables



View New

FC/APC

Polarization-Maintaining Hybrid Cables



View New

FC/PC to FC/APC

AR-Coated PM Patch Cables



AR-Coated
FC/PC and FC/PC to FC/APC

Retroreflector PM Patch Cables



Reflective-Coated
FC/PC or FC/APC

Custom Fiber Patch Cables

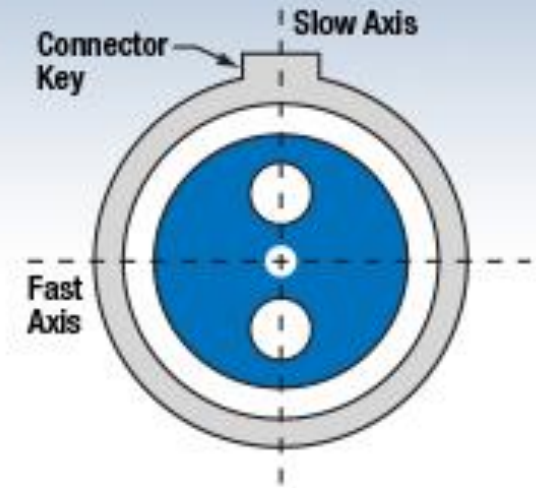
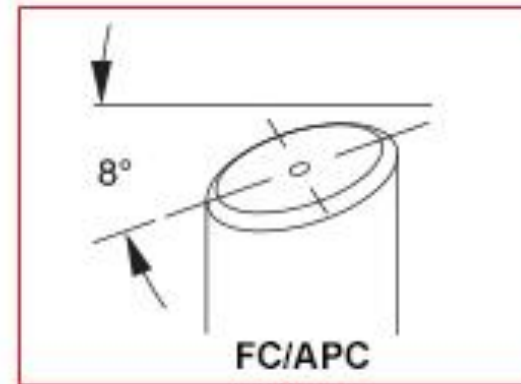


- Online Quoting & Ordering with Smart Calculator
- 24 Hr. Turnaround

Fibre ottiche

- FC/APC (Fiber connector Angled Physical Contact)

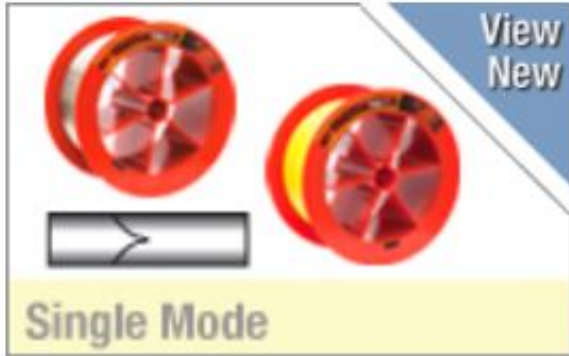
Per evitare riflessioni
all'interfaccia fibra-aria



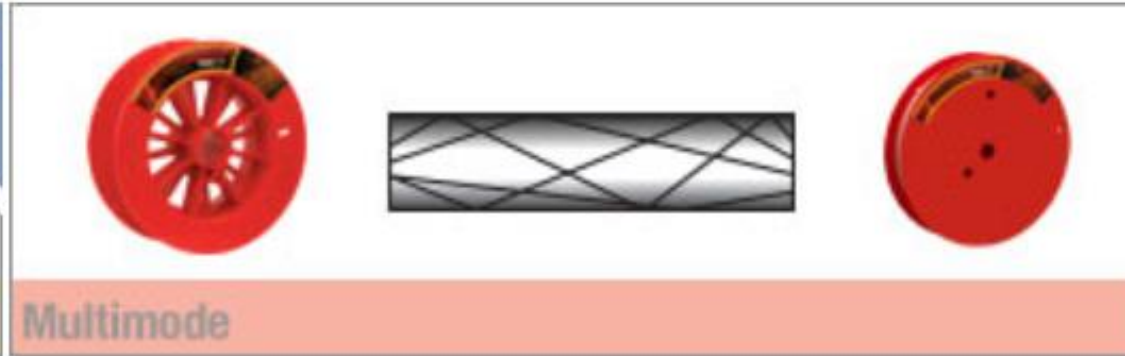
Fibre ottiche

BARE FIBER

Single Mode Optical Fiber



Multimode Fiber



Single Mode Polarization-Maintaining Fiber



BARE FIBER

Single Mode Polarizing Fiber



Spun Optical Fiber



Mid-IR Fluoride Fiber



Double-Clad Fiber



Fibre ottiche

BARE FIBER

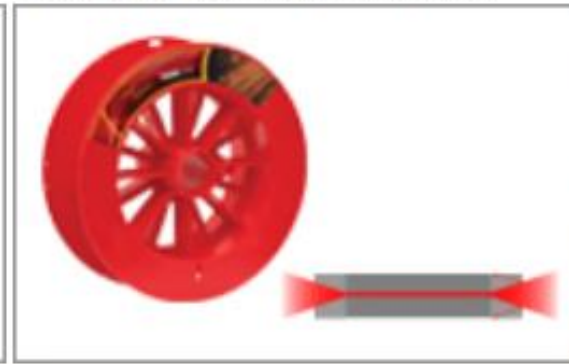
Active Rare-Earth Doped Fiber



Photonic Crystal Fiber (PCF)



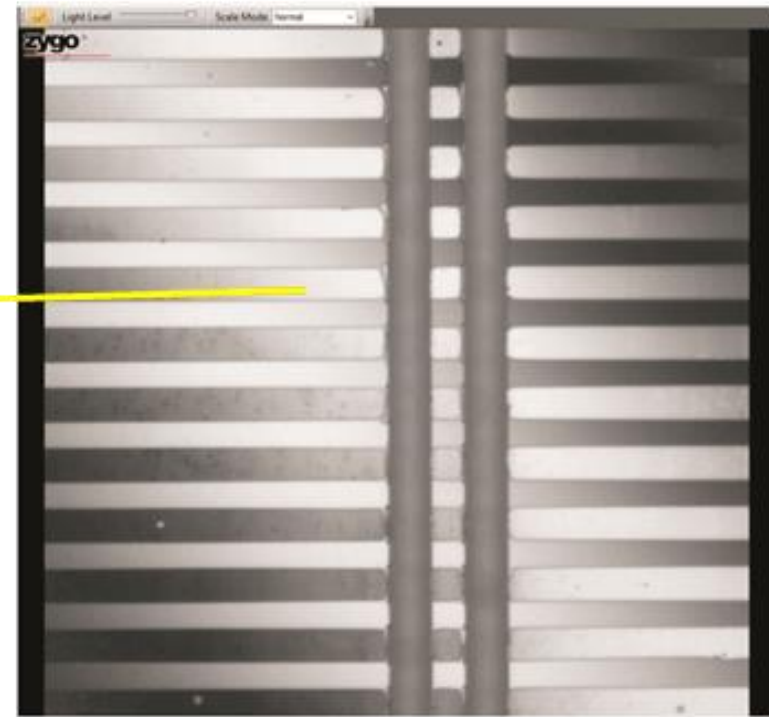
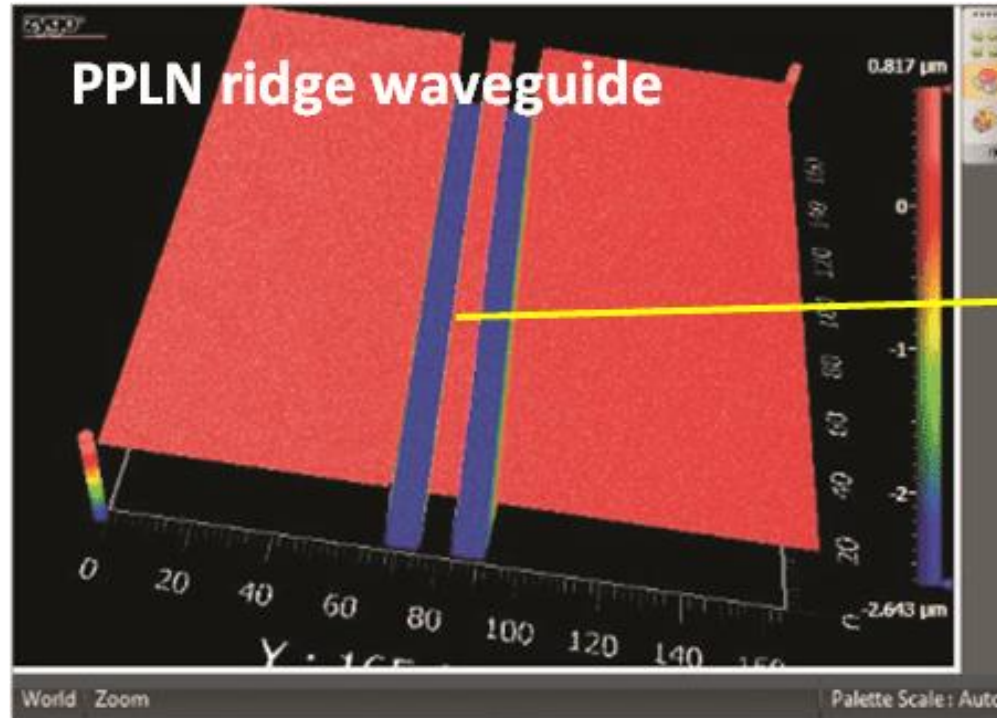
Coreless Termination Fiber



Specialty Optical Fiber Manufacturing



Guide d'onda



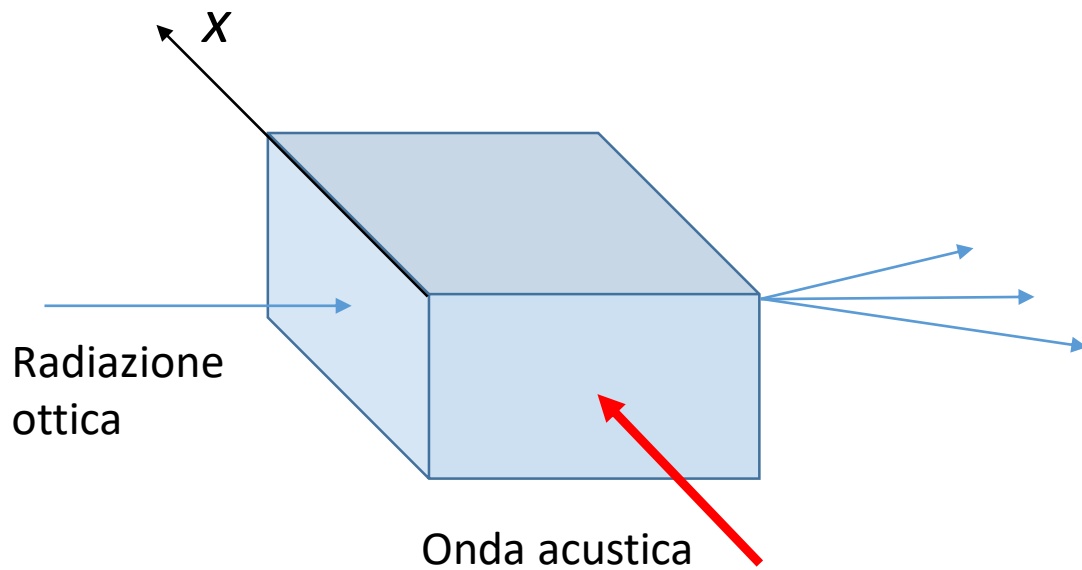
5 mol.% MgO doped PPLN for Second Harmonic Generation (SHG) of blue to red light from a laser source between 950-2200nm infrared wavelength.

5 mol.% MgO doped PPLN for sum-frequency generation (SFG) of blue to red light from the conventional laser sources such as Yb/Er fiber laser, YAG laser or Ti:Sapphire lasers.

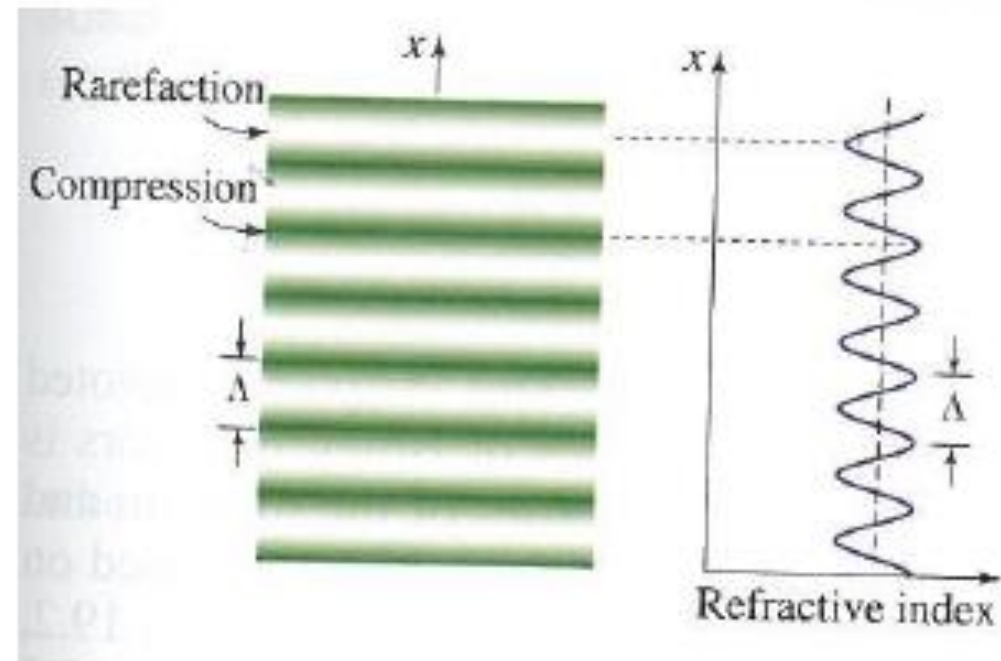
5 mol.% MgO doped PPLN for laser wavelength downconversion (e.g. optical parametric generation, difference frequency generation) of the conventional pump laser such as Yb fiber lasers, YAG laser, and Ti: Sapphire lasers.

Modulatori Acusto-Ottici (AOM)

- Usati per controllare *intensità, frequenza e direzione* di un fascio laser
- Effetto *foto-acustico*: Variazione dell'*indice di rifrazione* di un mezzo trasparente in presenza di variazioni di *pressione*



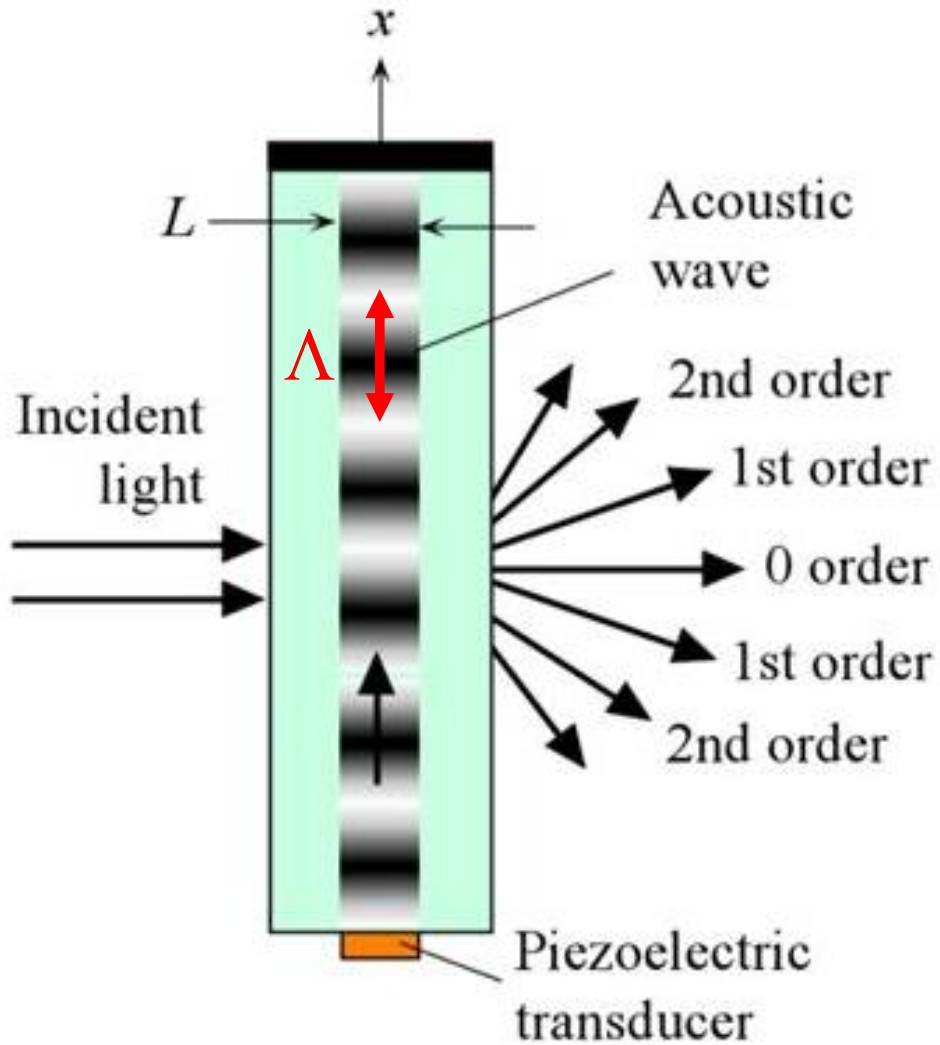
$$n = n_0 + \Delta n \cos(\omega t - k_a x)$$



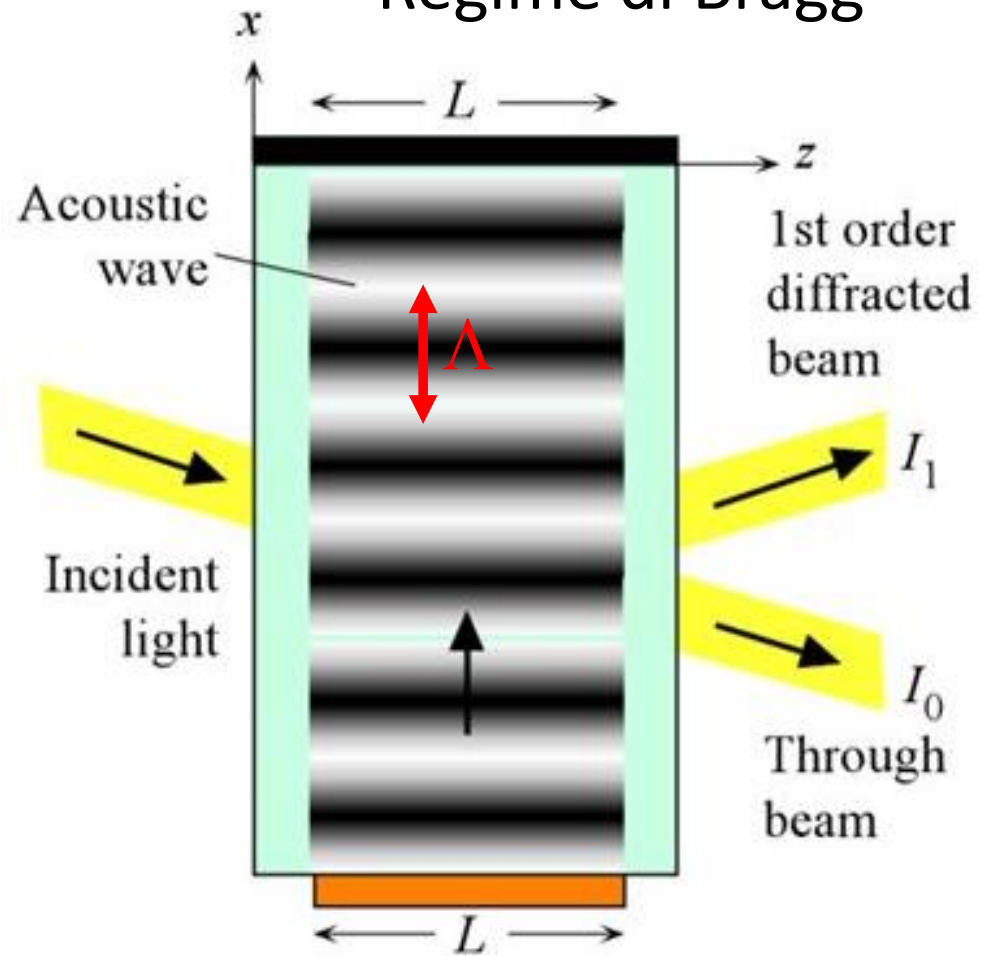
➡ Diffrazione

Modulatori Acusto-Ottici (AOM)

- Regime di Raman-Nath

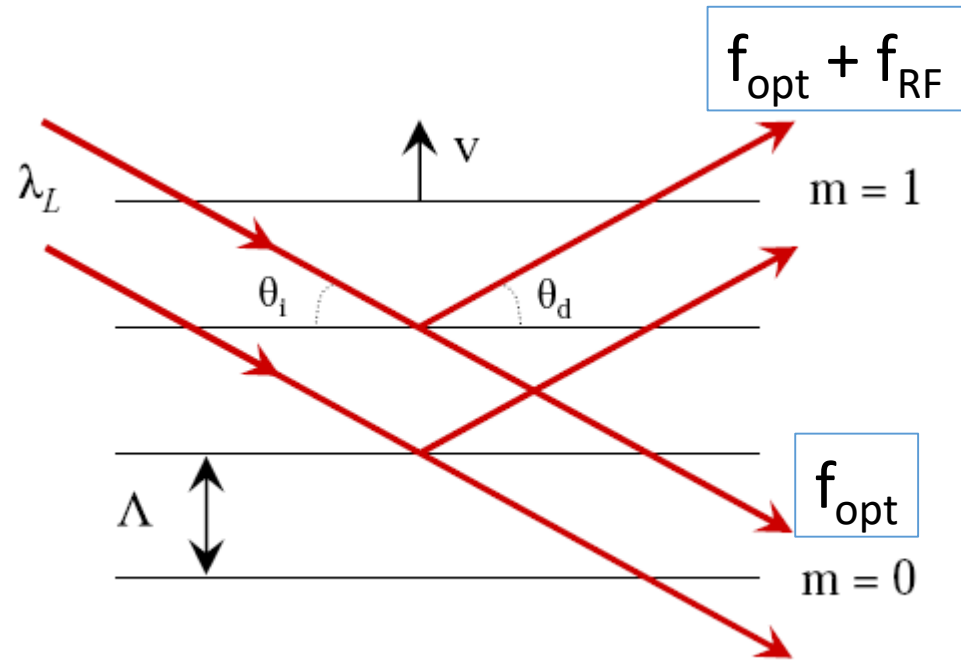


- Regime di Bragg



Modulatori Acusto-Ottici (AOM)

- Controllo di *intensità*, *frequenza* e *direzione* del fascio laser



$$n\lambda_L = 2\Lambda \sin\theta_d$$

$$\theta_i = \theta_d$$

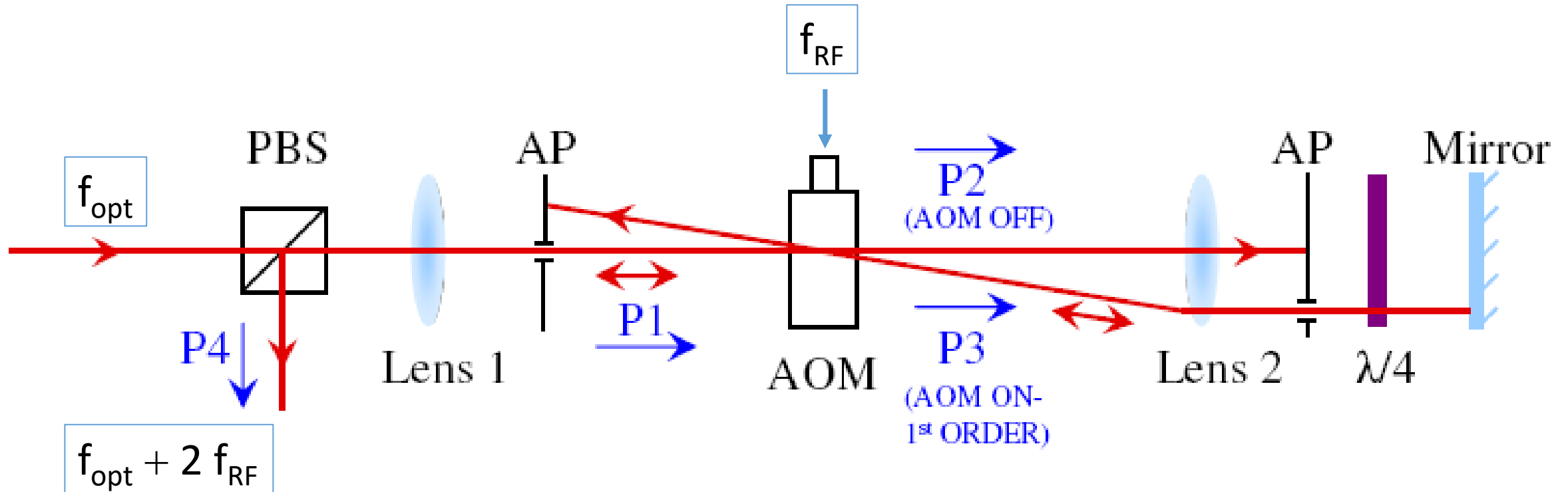
RF signal (40MHz-1GHz)



$$\Delta f = \frac{m E_{\text{phonon}}}{h}$$

Modulatori Acusto-Ottici (AOM)

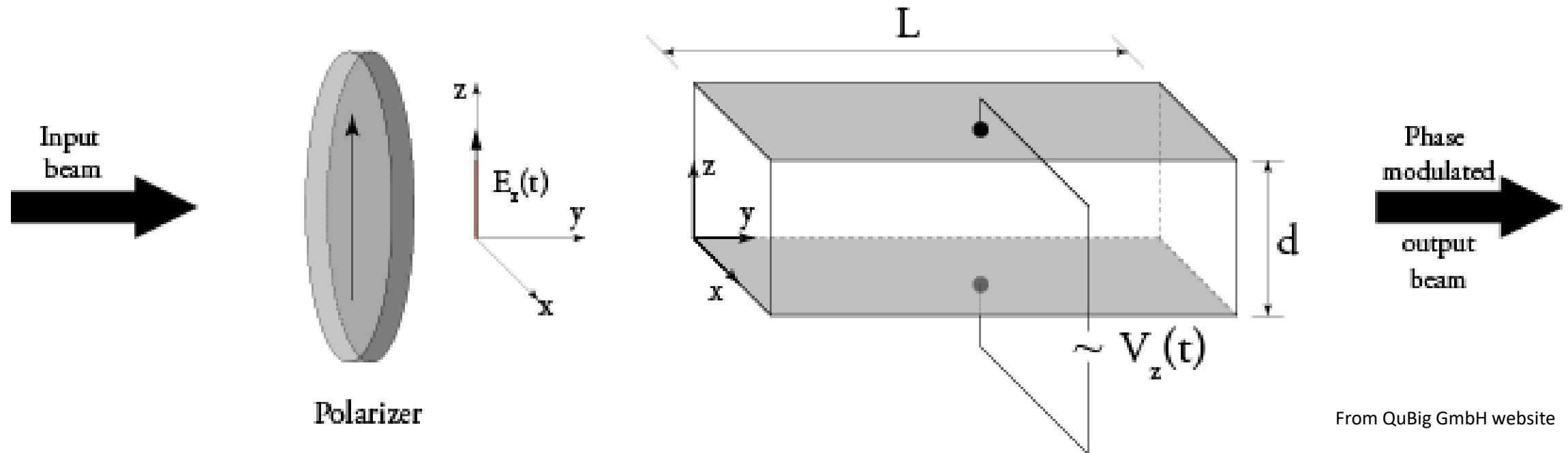
- AOM in doppio passaggio



Electro-Optical Modulators (EOM)

Effetto Pockels: esiste nei cristalli non centrosimmetrici (birifrangenti)

variazione lineare dell' indice di rifrazione con E esterno $\Delta n \propto E$



From QuBig GmbH website

- Modulatore di fase (V_π è il voltaggio richiesto per sfasare di 180° all'uscita)
- In combinazione a polarizzatori in uscita posso creare un modulatore di intensità

